

524 / 2
1951



საქართველოს სსრ
მეცნიერებათა აკადემიის
მ თ ე მ ბ ე

ტომი XII, № 4

ძირითადი, ქართული გამოცემა

1951

საქართველოს სსრ მეცნიერებათა აკადემიის გამომცემლობა
თბილისი



შ ი ნ ა ა რ ს ი

მათემატიკა

- 1. ოთარ წერეთელი. ნახევრად დალაგებულ სივრცეთა თეორიის ერთი გამოყენების შესახებ 193
- 2. ა. ჯვარციანი. დანჯუა-პელიძის ორჯერადი ინტეგრალის შესახებ 197

ასტროფიზიკა

- 3. ნ. კალანდაძე. მკრთალ ვარსკვლავთა აბსოლუტური სიდიდეების განსაზღვრის შესახებ 203

ტიჰნიკა

- 4. ლ. აბელიშვილი და ბ. ლეჟავა. ქსელში ძაბვის მნიშვნელოვანი გარდნისას მატარებლის სვლის დროის შესწორება 209

ენობათმცოდნეობა

- 5. ბ. ლორთქიფანიძე. განუთქობელი უკუწრედის პირობებში ელექტროდრენაჟების შეშაობის გამოკვლევის მეთოდისა და მათი გათვლის გზების შესახებ 215

ბოტანიკა

- 6. გ. ნაცვლიშვილი. ზოგიერთი ჯიშის ქართული ვახისა და სამიურე ჰიბრიდების დაფესვიანების უნარიანობა 223

ენტომოლოგია

- 7. ა. ჯიბლაძე. ახალი სახეობა *Myzus chaenomelis*, sp. n. (ოჯ. *Aphididae*) საქართველოდან 227

ანატომია

- 8. ლ. ნათაძე. რეპტილების ხრტილოვანი ჩონჩხის განვითარების სინქრონულობის შესახებ 233

ფსიქოლოგია

- 9. რ. ნათაძე. ხელის ფაქტორის როლისათვის სივრცის მარჯვენა-მარცხენა მიმართულებათა უშუალო აღქმაში 239

მათემატიკა

ოთარ წარითელი

ნახევრად დალაგებულ სივრცეთა თეორიის ერთი ბამოყენების
შესახებ

(წარმოადგინა აკადემიკოსმა ნ. მუსხელიშვილმა 21.2.1951)

ამ სტატიაში ნახევრად დალაგებულ სივრცეთა თეორიის მეშვეობით ჩვენ ვამტკიცებთ შემდეგ თეორემას ზღვარზე გადასვლის შესახებ ლებეგის ინტეგრალის ნიშნის ქვეშ.

ვთქვათ, ზომად E სიმრავლეზე მოცემულია ჯამად ფუნქციითა მიმდევრობა $\{x_n(t)\}$, რომელიც ზომით კრებადია $x(t)$ ფუნქციისაკენ. იმისათვის, რომ $x(t)$ იყოს ჯამადი და ნებისმიერი ზომადი სიმრავლისთვის $e \in E$ ადგილი ჰქონდეს ტოლობას

$$\lim_{n \rightarrow \infty} \int_e x_n(t) dt = \int_e x(t) dt, \quad (1)$$

აუცილებელი და საკმარისია, რომ ყოველი ქვემიმდევრობისაგან $\{x_{n_k}(t)\}$ შესაძლებელი იყოს $\{x_{n_k}(t)\}$ მიმდევრობის გამოყოფა ისე, რომ

$$|x_{n_k}(t)| \equiv F(t) \quad (i = 1, 2, \dots),$$

სადაც $F(t)$ ჯამადია და, საზოგადოდ, დამოკიდებულია $\{x_{n_k}(t)\}$ -ზე.

დამტკიცება ეყრდნობა K -სივრცის ნორმალურ ქვესივრცეთა თვისებებს, რომლებიც შესწავლილია მონოგრაფიაში [1].

უწინარეს ყოვლისა, მოვიყვანოთ ერთი თეორემის დამტკიცება, რომელიც დასახელებული მონოგრაფიის II თავში დამტკიცებული 1.27.d თეორემის ანალოგიურია.

ვთქვათ, მიმდევრობა $\{x_n(t)\}$ კრებადია K -სივრცეში X რომელიც x ელემენტისაკენ და $x_n \in X_1$ $n = 1, 2, \dots$, სადაც $X_1 - X$ სივრცის ნორმალური ქვესივრცეა. აუცილებელი და საკმარისი პირობა იმისათვის, რომ $x \in X_1$ და $x_n \xrightarrow{(f)} x$ X_1 სივრცეში, მდგომარეობს იმაში, რომ $\{x_n\}$ მიმდევრობის ყოველი $\{x_{n_k}\}$ ქვემიმდევრობიდან შესაძლებელი იყოს X_1 -ში შემოსაზღვრული $\{x_{n_k}\}$ მიმდევრობის გამოყოფა.



4404

დამტკიცება. რადგანაც ყოველი (0)-კრებადი მიმდევრობა შემოსაზღვრულია, ამიტომ პირობის აუცილებლობა ცხადია.

დავამტკიცოთ პირობის საკმარისობა. ვთქვათ, $\{x_n\}$ არის $\{x_n\}$ მიმდევრობის ნებისმიერი ქვემიმდევრობა. რადგან X სივრცეში $x_n \xrightarrow{(t)} x$, ამიტომ $\{x_n\}$ -დან შეიძლება გამოიყოს (0)-კრებადი მიმდევრობა $\{x_{n_k}\}$. თეორემის პირობის თანახმად, $\{x_{n_k}\}$ -დან შეიძლება გამოიყოს X_1 -ში შემოსაზღვრული მიმდევრობა $\{x_{n_{k_j}}\}$. რადგან $x_{n_{k_j}} \xrightarrow{(t)} x$ X_1 სივრცეში და $\{x_{n_{k_j}}\}$ შემოსაზღვრულია X_1 სივრცეში, ამიტომ $x \in X_1$ და $x_{n_{k_j}} \xrightarrow{(t)} x$ X_1 -ში. აქედან ცხადია, რომ $x_n \xrightarrow{(t)} x$ X_1 -ში.

ვთქვათ, ახლა S არის K -სივრცე ზომადი და თითქმის ყველგან სასრულო ფუნქციებისა, რომლებიც განსაზღვრულია დადებითი ზომის E სიმრავლეზე, ხოლო $L - E$ სიმრავლეზე ჯამად ფუნქციათა სივრცე. როგორც ცნობილია, L არის S სივრცის ნორმალური ქვესივრცე. ამასთანავე, L არის KM -სივრცე, რომლის მეტრიკული ფუნქცია ასე განიმარტება:

$$\rho(x; E) = \int_E |x(t)| dt.$$

რადგან (t) -კრებადობა S -ში თანხვედება ზომით კრებადობას, ხოლო L -ში—მეტრიკულ კრებადობას, ამიტომ ვიღებთ დამტკიცებულ თეორემის ასეთ შედეგს:

თუ E სიმრავლეზე ზომად და ჯამად ფუნქციათა მიმდევრობა $\{x_n(t)\}$ ზომით კრებადია $x(t)$ ფუნქციისაკენ, მაშინ იმისათვის, რომ $x(t)$ იყოს ჯამადი და

$$\lim_{n \rightarrow \infty} \int_E |x_n(t) - x(t)| dt = 0, \quad (2)$$

აუცილებელი და საკმარისია, რომ ყოველი $\{x_{n_k}(t)\}$ ქვემიმდევრობიდან შესაძლებელი იყოს $\{x_{n_{k_j}}(t)\}$ -ს გამოყოფა ისე, რომ

$$|x_{n_{k_j}}(t)| \leq F(t) \quad (j = 1, 2, \dots),$$

სადაც $F(t)$ ჯამადია E სიმრავლეზე და, საზოგადოდ, დამოკიდებულია $\{x_n(t)\}$ -ზე.

გადავიდეთ ჩვენ თეორემის დამტკიცებაზე. თუ თეორემის პირობა შესრულებულია, მაშინ, ზემოაღნიშნულის თანახმად, $x(t)$ ჯამადია და ნებისმიერი სიმრავლისათვის $e \subset E$

$$\lim_{n \rightarrow \infty} \int_E |x_n(t) - x(t)| dt = 0,$$

აქედან კი გამომდინარეობს (1) დამოკიდებულება⁽¹⁾. პირუკუ: თუ $x(t)$ ჯამადია და ნებისმიერი სიმრავლისათვის $e \in E$ ადგილი აქვს (1) დამოკიდებულებას, მაშინ, ვიტალის თეორემის გამოყენებით, ადვილად დავასკვნით, რომ ადგილი აქვს (2), რომელიც, უკვე დამტკიცებულის თანახმად, თეორემის პირობის ტოლფასია⁽²⁾.

საქართველოს სსრ მეცნიერებათა აკადემია
ა. რახმაძის სახელობის მათემატიკის ინსტიტუტი
თბილისი

(რედაქციას მოუვიდა 26.2.1951)

დამოწმებული ლიტერატურა

1. Л. В. Канторович, Б. З. Вулих и А. Г. Пинскер. Функциональный анализ в полуупорядоченных пространствах. М.—Л., 1950.
2. Я. А. Тагамлицкий. ДАН СССР, т. LXII, 1947, № 1.

(1) თუმცა თეორემის პირობის საკმარისობა უშუალოდაც ადვილად მტკიცდება.

(2) სტატია უკვე აწყობილი იყო, როდესაც გავიგე, რომ აქ დამტკიცებული თეორემის ანალი არაა [2].



მათემატიკა

ბ. ჯვარციანი

დანუსა-ჰელიძის ორჯერადი ინტეგრალის შესახებ ⁽¹⁾

(წარმოადგინა აკადემიის ნამდვილმა წევრმა ვ. კუპრაძემ 28.2.1951)

ვთქვათ, $R_0 = [(a, b) (c, d)]$ არის ორგანზომილებიანი ინტერვალის და $\overline{R_0}$ მისი შეკვრა.

დანუსა-ჰელიძის აზრით ინტეგრებად ფუნქციებს ვუწოდოთ $(D - T)$ ინტეგრებადი.

თეორემა 1. ვთქვათ, $f(x, y)$ არის $(D - T)$ ინტეგრებადი R_0 ინტერვალის ყოველ მკაცრად შიგა R ინტერვალზე.

თუ ყოველი დადებითი ε რიცხვისთვის მოიძებნება ისეთი რიცხვი $\eta > 0$, რომ უტოლობებიდან

$$\begin{aligned} a < \alpha_1 < \beta_1 \leq a + \eta, \quad c < \gamma_1 < \delta_1 \leq c + \eta; \\ b - \eta \leq \alpha_2 < \beta_2 < b, \quad d - \eta < \gamma_2 < \delta_2 < d \end{aligned}$$

გამომდინარეობს უტოლობები

$$\left| \int_{\alpha_i}^{\beta_i} \int_{\gamma_i}^{\delta_i} f(x, y) dx dy \right| < \varepsilon, \quad \left| \int_{a'}^{b'} \int_{c'}^{d'} f(x, y) dx dy \right| < \varepsilon, \quad (i = 1, 2)$$

როგორც არ უნდა იყოს ინტერვალები $(a', b') \subset (a, b)$ და $(c', d') \subset (c, d)$, მაშინ $f(x, y)$ იქნება $(D - T)$ ინტეგრებადი და

$$\iint_{a c}^{b d} f(x, y) dx dy = \lim_{\substack{\alpha \rightarrow a, \beta \rightarrow b \\ \gamma \rightarrow c, \delta \rightarrow d}} \iint_{\alpha \gamma}^{\beta \delta} f(x, y) dx dy \quad (1)$$

დამტკიცება. $\overline{R_0}$ სეგმენტზე განესაზღვროთ $F(x, y)$ ფუნქცია შემდეგი გზით: $F(a, y) = F(x, c) = 0$, როცა $a \leq x \leq b, c \leq y \leq d$;

$$F(x, y) = \lim_{\alpha \rightarrow a, \gamma \rightarrow c} \int_{\alpha \gamma}^{x y} f(x, y) dx dy, \quad \text{როცა } a < x < b, c < y < d;$$

$$F(x, d) = \lim_{\substack{\alpha \rightarrow a, \gamma \rightarrow c \\ \delta \rightarrow d}} \int_{\alpha \gamma}^{x \delta} f(x, y) dx dy, \quad \text{როცა } a < x < b;$$

$$F(b, y) = \lim_{\substack{\alpha \rightarrow a, \gamma \rightarrow c \\ \beta \rightarrow b}} \int_{\alpha \gamma}^{\beta y} f(x, y) dx dy, \quad \text{როცა } c < y < d;$$

(¹ აღნიშნული ინტეგრალის განსაზღვრა და მასთან დაკავშირებული ცნობები იხ. [1].

$$F(b, d) = \lim_{\substack{\alpha \rightarrow a, \gamma \rightarrow c \\ \beta \rightarrow b, \delta \rightarrow d}} \iint_{\alpha\gamma}^{\beta\delta} f(x, y) dx dy.$$

თეორემის პირობის თანახმად, აღნიშნული ზღვრები არსებობს და ადვილად შესამჩნევია, რომ $F(x, y)$ ფუნქცია უწყვეტია \bar{R}_0 -ზე.

ვთქვათ, r არის R_0 ინტერვალის შიგა ინტერვალი, მაშინ

$$\Delta(F, r) = \iint_r f(x, y) dx dy;$$

უქანასკნელი ტოლობის საშუალებით ვასკენით, რომ $F(x, y)$ არის განზოგადებულად აბსოლუტურად უწყვეტი ქელიძის აზრით R_0 ინტერვალზე და თითქმის ყველგან

$$D_{\alpha\beta} F(x, y) = f(x, y).$$

მაშასადამე, $f(x, y)$ ფუნქცია არის $(D-T)$ ინტეგრებადი R_0 -ზე და (1) სამართლიანია, რის დამტკიცებაც გვინდოდა.

$[A, B]$ -თი აღვნიშნოთ A და B სიმრავლეების ტოპოლოგიური ნამრაველი. ვთქვათ, P და Q არის ჩაკეტილი სიმრავლეები, აღებული სათანადოდ (a, b) და (c, d) ინტერვალებიდან. ჩაკეტილი $E = [P(c, d)] + [Q(a, b)]$ სიმრავლის დამატებითი სიმრავლე შედგება თვლად რიცხვ ინტერვალებისაგან $r_{k,j} = [(\alpha_k, \beta_k), (\gamma_j, \delta_j)]$, სადაც (α_k, β_k) და (γ_j, δ_j) აღნიშნავს P და Q სიმრავლეების მოსაზღვრე ინტერვალებს. აღნიშნულ ინტერვალებს ვუწოდოთ E სიმრავლის მოსაზღვრე ინტერვალები და აღვნიშნოთ $\rho_k (k=1, 2, \dots)$ სიმბოლოთი.

ვთქვათ, $f(x, y)$ არის ჯამებადი E სიმრავლეზე, $(D-T)$ ინტეგრებადი ყოველ ρ_k ინტერვალზე და

$$\varphi(\rho) = \iint_{\rho} f(x, y) dx dy,$$

სადაც $\rho \equiv \rho_k$
აღვნიშნოთ

$$\omega[\varphi, \rho_k] = \sup_{\rho} \{|\varphi(\rho)|\},$$

სადაც ρ არის მეორე გვარის ინტერვალი ρ_k ინტერვალის საზღვრის მიმართ. დავუშვათ, რომ მწყობრივ

$$\sum_{k=1}^{\infty} \omega[\varphi, \rho_k]$$

კრებადია და შევადგინოთ ფუნქცია

$$\Phi(R) = (L) \iint_{RE} f(x, y) dx dy + \sum_{k=1}^{\infty} \iint_{R\rho_k} f(x, y) dx dy.$$

შევნიშნოთ, რომ მარჯვენა მხარეში მდგომი მწყობრივი კრებადია, რადგან ყოველი R ინტერვალისთვის თანაკვეთა $R\rho_k (k=1, 2, \dots)$ იქნება მეორე გვარის ინტერვალი E სიმრავლის მიმართ, გარდა, შესაძლოა, ორისა.

თეორემა 2. თუ $\Phi(R)$ არის უწყვეტი R_0 ინტერვალზე და აბსოლუტურად უწყვეტი ჰელიძის აზრით E სიმრავლეზე, მაშინ $f(x, y)$ ფუნქცია იქნება $(D - I)$ ინტეგრებადი R_0 -ზე და

$$\iint_R f(x, y) dx dy = (L) \iint_{RE} f(x, y) dx dy + \sum_{k=1}^{\infty} \iint_{R_{0k}} f(x, y) dx dy. \quad (2)$$

დამტკიცება. \bar{R}_0 სეგმენტზე განესაზღვროთ $F(x, y)$ ფუნქცია შემდეგი გზით: $F(x, c) = F(a, y) = 0$, როცა $a \leq x \leq b, c \leq y \leq d$;

$$F(x, y) = (L) \iint_{RE} f(x, y) dx dy + \sum_{k=1}^{\infty} \iint_{R_{0k}} f(x, y) dx dy,$$

სადაც $R = [(a, x)(c, y)]$. ვთქვათ, $r \in R_0$. განსაზღვრის თანახმად,
 $\Delta(F, r) = \Phi(r)$.

უკანასკნელი ტოლობის საშუალებით ვსკვნით, რომ $F(x, y)$ უწყვეტია \bar{R}_0 -ზე, განზოგადებულად აბსოლუტურად უწყვეტია ჰელიძის აზრით R_0 ინტერვალზე და $p_k (k=1, 2, \dots)$ ინტერვალის თითქმის ყველა წერტილზე

$$D_{ap} F(x, y) = f(x, y).$$

ვთქვათ, $p < q$ ნამდვილი რიცხვებია და აღვნიშნოთ

$$E_{p,q} = E \{ D_{ap} F(x, y) > q > p > f(x, y); (x, y) \in F \}.$$

ცნობილია [1], რომ $E_{p,q}$ ზომადი სიმრავლეა.

პირობის ძალით, დადებითი ϵ რიცხვისთვის მოიძებნება ისეთი $\eta > 0$ რიცხვი, რომ უტოლობიდან

$$\sum_{k=1}^m |r_k| < \eta,$$

სადაც r_k წყვილ-წყვილად თანაუკვეთი E სიმრავლის მიმართ მეორე გვარის ინტერვლებია, გამომდინარეობს უტოლობა

$$\sum_{k=1}^m |\Delta(F, r_k)| < \epsilon.$$

შევარჩიოთ დადებითი რიცხვი δ ისე, რომ უტოლობიდან $|\epsilon| < \delta$, სადაც ზომადი სიმრავლე $\epsilon \in E$, გამომდინარეობდეს უტოლობა

$$|(L) \iint_{\epsilon} f(x, y) dx dy| < \epsilon.$$

$E_{p,q}$ სიმრავლის ყოველი (x, y) წერტილისთვის მოიძებნება ისეთი რეგულარული ინტერვალთა $\{r\}$ მიმდევრობა, რომლის ბოლო წერტილები E სიმრავლეს ეკუთვნის და

$$\Delta(F, r) > q|r|. \quad (3)$$

ვთქვათ, ღია სიმრავლე $G \supset E_{p,q}$ და $|G - E_{p,q}| < \delta_0 = \min(\delta, \eta)$. აღვნიშნოთ \mathcal{M} -ით ოჯახი ისეთი რეგულარული ინტერვლების, რომლებიც აკმაყოფილებს (3) პირობას და ეკუთვნის G სიმრავლეს. ცხადია, რომ \mathcal{M} ოჯახი ფარავს E სიმრავლეს ვიტალის აზრით და ამიტომ [2] შეიძლება გამოვყოთ თვლადი რიცხვი ისეთი თანაუკვეთი R_1, R_2, \dots ინტერვლებისა, რომ

$|E_{p,q} - S| = 0$, სადაც $S = \sum_{k=1}^{\infty} R_k$. განსაზღვრის ძალით,

$$(L) \iint_{R_k E} f(x, y) dx dy = \Delta(F, R_k) - \sum_{n=1}^{\infty} \iint_{R_k \rho_n} f(x, y) dx dy.$$

აეჯამოთ k -თი უკანასკნელი ტოლობა

$$(L) \iint_{SE} f(x, y) dx dy = \sum_{k=1}^{\infty} \Delta(E, R_k) - \sum_{k=1}^{\infty} \sum_{n=1}^{\infty} \iint_{R_k \rho_n} f(x, y) dx dy. \quad (4)$$

შევნიშნოთ, რომ $|\sum E - \sum E_{p,q}| \equiv |S - \sum E_{p,q}| \equiv |G - E_{p,q}| < \delta_0$.
მაშასადამე,

$$\left| (L) \iint_{SE} f(x, y) dx dy - (L) \iint_{E_{p,q}} f(x, y) dx dy \right| < \varepsilon. \quad (5)$$

ცხადია, რომ ყველა ინტეგრალი $R_k \rho_n$ არის მეორე გვარის E სიმრავლის მიმართ და $\sum_k \sum_n |R_k \rho_n| \equiv |G - E| < \delta_0$, ამიტომ

$$\sum_k \sum_n \left| \iint_{R_k \rho_n} f(x, y) dx dy \right| < \varepsilon. \quad (6)$$

თანხმად (3), (4), (5) და (6) თანადობობისა, ვღებულობთ

$$(L) \iint_{E_{p,q}} f(x, y) dx dy \equiv q|S| - 2\varepsilon > q|E_{p,q}| - 2\varepsilon. \quad (7)$$

მეორე მხრივ,

$$(L) \iint_{E_{p,q}} f(x, y) dx dy \equiv p|E_{p,q}|; \quad (8)$$

ვინაიდან ε რაგინდ მცირეა, ამიტომ (7) და (8) უტოლობების თანხმად ვღებულობთ

$$q|E_{p,q}| \equiv p|E_{p,q}|.$$

აქედან გამომდინარეობს, რომ $|E_{p,q}| = 0$.

ანალოგიური მსჯელობით შეიძლება ვაჩვენოთ, რომ

$$E_{p,q} = E \{ f(x, y) > q > p > D_{ap} F(x, y); (x, y) \in E_{2n} \}$$

სიმრავლის ზომა ნულია.

მაშასადამე,

$$D_{ap} F(x, y) = f(x, y)$$

თითქმის ყველგან R_0 -ზე და (2) უტოლობა საშარტლიანია, რის დამტკიცებაც გვინდოდა.

ვთქვათ, $f(x, y)$ ფუნქცია არის $(D - T)$ ინტეგრებადი R_0 — ინტეგრალზე და

$$\Phi(R) = \iint_R f(x, y) dx dy.$$

თეორემა 3. თუ $\Phi(R)$ არის აბსოლუტურად უწყვეტი კელიძის აზრით ჩაკეტილ სიმრავლეზე $E=[P(c, d)]+[Q(a, b)]$, სადაც P და Q არის ჩაკეტილი სიმრავლეები, აღებული სათანადოდ (a, b) და (c, d) ინტერვალებიდან, მაშინ $f(x, y)$ იქნება ჯამებადი E -ზე.

დამტკიცება. ვთქვათ,

$$\varphi(x, y) = \begin{cases} f(x, y), & \text{როცა } (x, y) \in E, \\ 0, & \text{როცა } (x, y) \in cE, \end{cases}$$

და განვიხილოთ ფუნქცია $\theta(x, y) = f(x, y) - \varphi(x, y)$. ინტეგრალის ფუნქცია

$$\psi(R) = \sum_{k=1}^{\infty} \iint_{R_{Q_k}} \theta(x, y) dx dy,$$

სადაც $\rho_k (k=1, 2, \dots)$ არის E სიმრავლის მოსაზღვრე ინტერვალები, არის უწყვეტი.

მართლაც, რადგან მწყრივი

$$\sum_{k=1}^{\infty} \omega[F, \rho_k]$$

კრებალია, ამიტომ მოცემული $\varepsilon > 0$ რიცხვისთვის მოიძებნება ისეთი მთელი დღებითი რიცხვი N , რომ თუ $m \geq N$, მაშინ

$$\sum_{k=m}^{\infty} \omega[F, \rho_k] < \varepsilon.$$

მეორე მხრივ, ყველა ინტერვალი R_{ρ_k} , გარდა, შესაძლოა, ორისა, იქნება მეორე გვარის, ამიტომ

$$|\psi(R)| \leq \sum_{k=1}^m \omega[F, \rho_k] + \varepsilon + \left| \iint_{R_{Q_1}} f(x, y) dx dy \right| + \left| \iint_{R_{Q_2}} f(x, y) dx dy \right|,$$

მაშასადამე, $\psi(R)$ უწყვეტია.

ვთქვათ, r_1, r_2, \dots არის E სიმრავლის მიმართ მეორე გვარის ინტერვალთა მიმდევრობა, მაშინ ყველა ინტერვალი $r_k \in R$ იქნება მეორე გვარის E სიმრავლის მიმართ, ამიტომ $\psi(R)$ ფუნქცია იქნება აბსოლუტურად უწყვეტი კელიძის აზრით E სიმრავლეზე. 2 თეორემის თანახმად, $\theta(x, y)$ ფუნქცია იქნება $(D - I)$ ინტეგრებადი R_0 -ზე და

$$\iint_R f(x, y) dx dy = \iint_R \theta(x, y) dx dy + \iint_R \varphi(x, y) dx dy.$$

აქედან გამომდინარეობს, რომ ინტეგრალი

$$\iint_R \varphi(x, y) dx dy$$

იქნება აბსოლუტურად უწყვეტი კელიძის აზრით E სიმრავლეზე. შევნიშნოთ, რომ ყოველი ინტერვალი R , რომელიც შეიცავს E სიმრავლის წერტილებს, შეიძლება წარმოვიდგინოთ შემდეგნაირად:

$$R = \sum_{k=1}^4 R'_k + \sum_{k=1}^4 R_k,$$

სადაც R'_k $k=1, 2, \dots, 4$ ინტერვალები არ შეიცავს E სიმრავლის წერტილებს, ხოლო R_k არის მეორე გვირგვინის ინტერვალის E სიმრავლის მიმართ.

უკანასკნელი შენიშვნის საშუალებით და იმის გამო, რომ $\varphi(x, y) = 0$, როცა $(x, y) \in E$, გამომდინარეობს

$$\iint_R \varphi(x, y) dx dy$$

ინტეგრალის აბსოლუტურად უწყვეტობა R_0 ინტერვალზე.

მაშასადამე, $\varphi(x, y)$ ფუნქცია ჯამებადია [3] R_0 ინტერვალზე და ამიტომ $f(x, y)$ ჯამებადია E სიმრავლეზე, რის დამტკიცებაც გვინდოდა.

თეორემა 4. თუ $f(x, y)$ ფუნქცია $(D - T)$ ინტერვალზეა R_0 -ზე, მაშინ ყოველი ჩაკეტილი სიმრავლე $E = [P, cd] + [Q(a, b)]$, სადაც P და Q არის ჩაკეტილი სიმრავლეები, აღებული (a, b) და (c, d) ინტერვალებიდან, შეიცავს ისეთ პორციას $RE = F$, რომელზედაც $f(x, y)$ ჯამებადია და

$$\iint_R f(x, y) dx dy = (L) \iint_F f(x, y) dx dy + \sum_{k=1}^{\infty} \iint_{RQ_k} f(x, y) dx dy,$$

სადაც R_k ($k=1, 2, \dots$) არის E სიმრავლის მოსაზღვრე ინტერვალები.

დამტკიცება. ცნობილია [1], რომ ჩაკეტილი სიმრავლე E შეიცავს ასეთ პორციას $RE = F$, რომელზედაც ინტეგრალი

$$\iint_F f(x, y) dx dy$$

იქნება აბსოლუტურად უწყვეტი ჰელდის აზრით. 2 და 3 თეორემების ძალით $f(x, y)$ ფუნქცია იქნება ჯამებადია F -ზე და

$$\iint_R f(x, y) dx dy = (L) \iint_F f(x, y) dx dy + \sum_{k=1}^{\infty} \iint_{RQ_k} f(x, y) dx dy,$$

სადაც R_k ($k=1, 2, \dots$) არის E სიმრავლის მოსაზღვრე ინტერვალები.

სტალინის სახელობის თბილისის

სახელმწიფო უნივერსიტეტი

(რედაქციას მოუვიდა 28.2.1951)

დამოწმებული ლიტერატურა

1. В. Г. Челидзе. Двойные интегралы Даниэля. Труды Тбилис. матем. инст. им. А. Размадзе, том XV, 1947.
2. В. Г. Челидзе. О производных числах функции от двух переменных. Труды Тбилис. матем. инст. им. А. Размадзе, том II, 1937.
3. С. Сакс. Теория интеграла. Москва, 1949.

ასტროფიზიკა

ნ. კალანდანი

მკრთალ ვარსკვლავთა აბსოლუტური სიდიდეების განსაზღვრის
შესახებ

(წარმოადგინა აკადემიის წევრ-კორესპონდენტმა ე. ხარაძემ 10.3.1951)

სპექტრების ანალიზი საშუალებას იძლევა განისაზღვროს ვარსკვლავთა აბსოლუტური სიდიდეები. აბსოლუტური სიდიდე ელემენტარულადაა დაკავშირებული ვარსკვლავის პარალაქსთან ცნობილი ფორმულით

$$M = m + 5 + 5 \lg \pi,$$

სადაც M ვარსკვლავის აბსოლუტური სიდიდეა, ჩვენს შემთხვევაში განსაზღვრული სპექტრული მეთოდით (სპექტრული აბსოლუტური სიდიდე), m ხილული ვარსკვლავიერი სიდიდეა, ხოლო π —ვარსკვლავის პარალაქსი. ამგვარად განსაზღვრულ პარალაქსს ეწოდება ვარსკვლავის სპექტრული პარალაქსი.

ვარსკვლავთ პარალაქსების განსაზღვრის ამ მეთოდმა უჩვენა დიდი უპირატესობა და შესაძლებლობა მისი ფართო გამოყენებისა ასტრონომიულ პრაქტიკაში.

პარალაქსების განსაზღვრას უდიდესი მნიშვნელობა აქვს სავარსკვლავო ასტრონომიაში. ვარსკვლავთ მანძილები, რომლებიც აგრეთვე ელემენტარულადაა პარალაქსებთან დაკავშირებული, სავარსკვლავო ასტრონომიის მთელი რიგი პრობლემების გაშუქებისა და ახსნის საშუალებას იძლევა. ამიტომ იყო, რომ ვარსკვლავთ პარალაქსების განსაზღვრის სპექტრულმა მეთოდმა დიდი გამოყენება ჰპოვა პრაქტიკაში.

ცნობილია სპექტრული აბსოლუტური სიდიდის, ანუ სპექტრული პარალაქსის განსაზღვრის სამი ძირითადი მეთოდი:

- ა) მეთოდი, რომელიც დაფუძნებულია ვარსკვლავთ სპექტრული ხაზების ინტენსივობაზე. ეს მეთოდი გამოიყენება ძირითადად გვიანი სპექტრული კლასების ვარსკვლავთ აბსოლუტური სიდიდეების განსაზღვრისათვის.
- ბ) მეთოდი, რომელიც დამყარებულია სპექტრული ხაზის ხასიათზე და რომელიც გამოიყენებულია A და B ტიპის ვარსკვლავთ აბსოლუტური სიდიდეების განსაზღვრისათვის.
- გ) სპეციალური მეთოდები, რომლებიც საშუალებას იძლევა გამოყენებულ იქნეს საობიექტივო პრიზმი. ამ მეთოდთა სიზუსტე შედარებით ნაკლებია, მაგრამ მკრთალ ვარსკვლავთა პარალაქსების მასობრივი განსაზღვრის საშუალებას იძლევა.

1947—1948 წლებში აბასთუმნის ასტოფიზიკურ ობსერვატორიაში, პირველად საბჭოთა კავშირში, საფუძველი ჩაეყარა მკრთალ ვარსკვლავთა სპექტრული აბსოლუტური სიდიდეების განსაზღვრას.

ამოცანა, რომელიც ითვალისწინებდა გვიანი სპექტრული G და K ტიპის მკრთალ ვარსკვლავთა აბსოლუტური სიდიდეების განსაზღვრას საობიექტივო პრიზმით მიღებული მცირე დისპერსიის სპექტრების საფუძველზე, დამყარებული იყო უკვე ცნობილ, მაგრამ ობსერვატორიის შესაძლებლობებთან შეთანხმებულ მეთოდებზე. ამის შესაბამისად იყო შერჩეული აბსოლუტურ სიდიდეთა კრიტერიუმები და შემუშავებული მასალის მიღებისა და დამუშავების მეთოდოლოგია.

დაკვირვებითი მასალა მიღებული იყო ფოტოგრაფიულად აბასთუმნის ობსერვატორიის 40 სმ-იან რეფრაქტორზე მორგებულ 20 სმ-იან კამერაზე 16° -იანი საობიექტივო პრიზმით (კამერის შუქძალა 1:5-ია); საობიექტივო პრიზმის დისპერსია ტოლია $115\text{Å}/\text{მმ} - H_{\beta}$ -სთან.

განსაზღვრული იყო ქრომატული აბერაცია კამერის ობიექტივისათვის პრიზმასთან ერთად. გაზომვების შედეგად გამოიჩინა, რომ სპექტრის $\lambda 4000 - \lambda 4400$ უბანში, სადაც თავმოყრილია აბსოლუტურ სიდიდეთა განსაზღვრის ჩვენ მიერ შერჩეული სპექტრული ხაზები, ქრომატული აბერაციის ცდომილების გავლენა უმნიშვნელოა.

დაკვირვებითი მასალის რეგულარული დაგროვება დაიწყო 1945 წლის ოქტომბერში და დღემდე გრძელდება.

აბსოლუტურ სიდიდეთა განსაზღვრისათვის გამოყენებული იყო სპექტრული ხაზების ინტენსივობათა შეფარდების მეთოდი. ჩვენთვის ძირითად ამოცანას წარმოადგენდა ზუსტი სარედაქციო მრუდების მიღება, რომლებიც აიგება სტანდარტ ვარსკვლავთა ცნობილი აბსოლუტური სიდიდეებისა და სპექტრული ხაზების ინტენსივობათა ფარდობების საფუძველზე. ეს მოითხოვს აბსოლუტურ სიდიდეთა კრიტერიუმების გულდასმით შერჩევას და რაც შეიძლება მეტი სტანდარტი ვარსკვლავების (ცნობილი აბსოლუტური სიდიდეებით) გამოყენებას.

მთელი რიგი საცდელი გაზომვების შედეგად დავრწმუნდით, რომ ჩვენი აპარატურის მცირე დისპერსიის პირობებში სპექტრულ ხაზთა გაზომვებს არ შეუძლია მოგვეცეს სარწმუნო შედეგები. ხაზთა ინტენსივობის ფარდობები იძლევა ნაკლებად სიმიდლო სარედუქციო მრუდებს წერტილთა მნიშვნელოვანი გაბნევით. პირველ ხანებში ნაწილ განსაზღვრებში სხვა კრიტერიუმებთან ერთად გამოვიყენეთ რკინის $\lambda 4045$ და $\lambda 4063$ ხაზების ინტენსივობათა შეფარდება სტრონციუმის $\lambda 4077$ ხაზის ინტენსივობასთან. მაგრამ შემდგომისათვის გადავწყვიტეთ ამ ფარდობებით არ გვესარგებლა ჩვენს განსაზღვრებში.

ამგვარად, ჩვენი განსაზღვრების ძირითად დასაყრდენს წარმოადგენს ციანის შთანთქმა სპექტრის $\lambda 4144 - \lambda 4215$ უბანში. სპექტრის ამ უბანში გაზომილი იყო ინტენსივობანი სამი ზოლისა—ცენტრებით $\lambda 4200, 4176, 4155$ ხაზებზე. ამ ზოლთა ინტენსივობები შედარებული იყო $\lambda 4215 - \lambda 4226$ უწყვეტი სპექტრის შედარებით უცვლელ ინტენსივობასთან.

ციანის ზოლები მკვეთრად მოჩანს დიდი აბსოლუტური სიდიდის ვარსკვლავთა სპექტრებში და უჩვენებს ინტენსივობის თვალსაჩინო შესუსტებას აბსოლუტური სიდიდის შემცირებასთან ერთად G და K ტიპის ვარსკვლავებში, ამ სამი კრიტერიუმის საფუძველზე აგებული მრუდები განსაზღვრის დროს იძლეოდა აბსოლუტურ სიდიდეთა საიშედო და ერთმანეთისაგან მციროდით განსხვავებულ მნიშვნელობებს.

გარდა ამისა, ვარსკვლავთ აბსოლუტური სიდიდეების განსაზღვრისათვის გამოყენებული იყო $\lambda 4215$ — $\lambda 4226$ და $\lambda 4205$ — $\lambda 4215$ უბნებში უწყვეტ სპექტრთა ინტენსივობის ფარდობა. ამგვარად, აღებული იყო აბსოლუტურ სიდიდეთა ოთხი კრიტერიუმი.

სპექტრულ ხაზთა ინტენსივობის განსაზღვრისათვის აგებული იყო მახასიათებელი მრუდები (E , $\lg I$), სადაც E მიკროფოტომეტრის ანათვალაია, ხოლო I —ხაზის ინტენსივობა. მახასიათებელი მრუდების ასაგებად გამოვიყენეთ მცირე სპექტროგრაფზე საფეხურებიანი ჭრილით გადაღებული სკალები. სკალის საფეხურების ინტენსივობანი გამოხატულია ფარდობითი ერთეულებით, ამიტომ სპექტრულ ხაზთა ინტენსივობანი მოიცემა ფარდობითი ერთეულებით.

მხედველობაში იყო მიღებული აგრეთვე შერჩევითი შთანთქმა დედამიწის ატმოსფეროში. ამ მიზნით სპექტრულ ხაზთა ყველა ინტენსივობა მიყვანილი იყო ზენიტზე. ამ ამოცანასთან დაკავშირებით განსაზღვრული იყო ატმოსფეროს გამჭვირვალობის კოეფიციენტი $P(\lambda)$ სხვადასხვა ტალღის სიგრძეზე მთა ყანობილისათვის.

სტანდარტ ვარსკვლავთა სპექტრული ხაზების ამგვარად განსაზღვრულ ინტენსივობათა ფარდობებისა და ცნობილი აბსოლუტური სიდიდეების საფუძველზე ავაგეთ აბსოლუტურ სიდიდეთა განსაზღვრის სარედუქციო მრუდები G და K კლასებისათვის ცალ-ცალკე.

რაც შეეხება საპროგრამო ვარსკვლავებს, განზრახული იყო გვეწარმოებინა მკრთალ ვარსკვლავთა აბსოლუტური სიდიდეების განსაზღვრა კაპტეინის არეებისათვის. სამუშაოს მიზანშეწონილი განხორციელების თვალსაზრისით ვამჯობინეთ განსაზღვრები მოგვეხდინა ვალაქტიკის ზონების მიხედვით. პირველ რიგში მოვახდინეთ აბსოლუტურ სიდიდეთა განსაზღვრა ვალაქტიკის დაბალი ზონის არეებისათვის, კერძოდ $\pm 30^\circ$ -ის სივანედზე.

მთელი განსაზღვრები მოიცავს ორ პერიოდს. პირველი—საცდელი განსაზღვრები, რომლის მიზანი იყო დაედასტურებინა სამუშაოს დაყენების მიზანშეწონილობა ჩვენს პირობებში. ამ დროისათვის კაპტეინის 9 არეში განსაზღვრული იყო G და K ტიპის 120 ვარსკვლავის აბსოლუტური სიდიდეები [1].

აღნიშნულმა საცდელმა განსაზღვრებმა ცხადჰყო, რომ აბსოლუტური სიდიდეების მკრთალ ვარსკვლავთა (M^5 — M^0) სპექტრული აბსოლუტური სიდიდეები. მუშაობის პროცესში გამოვლინდა აუცილებლობა და შესაძლებლობა განსაზღვრათა მეთოდის გაუმჯობესებისა მიღებულ შედეგთა სიზუსტის გაზრდის თვალსაზრისით. პირველ ყოვლისა განვიზრახეთ მიკროფოტომეტრიული გა-

ზომის ტექნიკის გაუმჯობესება, რაც გულისხმობს უფრო მეტად მიზანშეწონილი ჰერტიკიანი დიაფრაგმების გამოყენებას. გადავწყვიტეთ ფოტომეტრია, ნაცვლად ნიკონოვის სისტემის მიკროფოტომეტრისა, გვეწარმოებინა ე. წ. „სწრაფ“ ფოტომეტრზე, რომელიც ამ დროისათვის უკვე დადგმული იყო აბასთუმნის ობსერვატორიაში.

ამასთან ერთად განზრახული იყო კრიტერიუმების დაზუსტება და სტანდარტ ვარსკვლავთა რიცხვის გაზრდა. დაბოლოს განზრახული იყო მკრთალ ვარსკვლავთა აბსოლუტური სიდიდეების განსაზღვრა გაგვევრცელებინა უფრო აღრინდელი F, A, B ტიპის ვარსკვლავებზე.

მეთოდის აღნიშნულ გაუმჯობესებათა განხორციელებამ შესაძლებლობა მოგვცა გაგვეგრძელებინა აღნიშნული სახის სამუშაო და მიგვეღწია განსაზღვრათა მნიშვნელოვანი სიზუსტისათვის.

ამან მოგვცა საფუძველი დაგვეწყო სისტემატური განსაზღვრები მკრთალ ვარსკვლავთა აბსოლუტური სიდიდეებისა, რაც ინტენსიურად მიმდინარეობს აბასთუმნის ობსერვატორიაში. 1948—1949 წლებში დაგროვილი დაკვირვებითი მასალის საფუძველზე კაპტეინის 9 არეში განესაზღვრეთ აბსოლუტური სიდიდეები G და K ტიპის 127 ვარსკვლავისათვის. ვინაიდან კაპტეინის არეებში სათვის გვექონდა რამდენიმე ნეგატივი, ყოველი ვარსკვლავისათვის აბსოლუტური სიდიდე განსაზღვრული იყო 4—20-ჯერ ოთხი სარედუქციო მრუდიდან და შემდეგ ვიღებდით საშუალო მნიშვნელობას.

ცალკეულ განსაზღვრათა ალბათი ცდომილების საფუძველზე გამოთვლილია კატალოგური საშუალო ალბათი ცდომილება ფორმულით

$$r = \pm 0,674 \sqrt{\frac{|r_1|}{n(n-1)}}$$

საშუალო ალბათი ცდომილება 127 ვარსკვლავისთვის $\pm 0,19$ -ის ტოლი აღმოჩნდა. წინა განსაზღვრებში 120 ვარსკვლავისთვის ეს ცდომილება აღწევდა $\pm 0,31$, ე. ი. ახალ განსაზღვრებში ცდომილება რამდენადმე შემცირდა, რაც მიუთითებს მეთოდის გაუმჯობესებასა და განსაზღვრათა სიზუსტის გაზრდაზე.

თუ მოვახდენთ ჩვენი შედეგების შედარებას 52 საერთო ვარსკვლავისათვის ადამსის, ჯოის, ჰუმასონისა და ბრაიტონის 1935 წლის კატალოგთან [2], რომლის ალბათი ცდომილება $\pm 0,27$ -ის ტოლია, საშუალო გადახრა M_{mH} M_{mK} (მთა ვილსონი მინუს მთა ყანობილი) ტოლია $\pm 1,1$, ხოლო სისტემატური გადახრა ამ სხვაობისათვის აღწევს $+0,04$.

მიუხედავად იმისა, რომ გავაჩნდა ძალიან მცირე რაოდენობა ვარსკვლავებისა ტრიგონომეტრიული პარალაქებით, ჩვენ მაინც მოვახდინეთ ჩვენი შედეგების შედარება ტრიგონომეტრიულ მონაცემებთან. საშუალო და სისტემატური გადახრა $M_{tr} - M_{mK}$ 8 ვარსკვლავისათვის აღმოჩნდა ტოლი $\pm 0,9$ და $-0,5$ შესაბამისად.

თუ მხედველობაში მივიღებთ, რომ აღნიშნული 8 ვარსკვლავიდან სამს ნაკლებად საიმედო პარალაქები აქვს მათი სიმციროს გამო ($0,003$, $0,003$, $0,006$), ა.უ. ისინი არ შევიდოდნენ შედარებებში, მიღებული საშუალო სხვაობები ბევრად ნაკლები აღმოჩნდებოდა.

საინტერესოა აღინიშნოს ის ფაქტი, რომ 1949 წელს წარმატებით დაიწყო სისტემატური განსაზღვრა ადრინდელი A და B ტიპის ვარსკვლავთ აბსოლუტური სიდიდეებისა, სადაც მიღწეულია განსაზღვრათა მაღალი სიზუსტე ალბათი ცდომილებით $\pm 0^m.10$. ეს სამუშაო წარმოადგენს რ. ბართიას სადისერტაციო ნაშრომს [3].

ამ რამოდენიმე ხნის წინათ მსგავსი სამუშაოები წამოწყებული იყო ყირიმის ობსერვატორიაში $\frac{400}{1600}$ მმ ასტროგრაფზე 7° -ანი საობიექტივო პრიზმით მიღებული მცირე დისპერსიის სპექტრების მიხედვით. ლ. გალკინის მიერ სპექტრულ ხაზთა ინტენსივობის ვიზუალური შეფასების მეთოდით განსაზღვრული იყო 996 $B-M$ ტიპის ვარსკვლავთ სპექტრული აბსოლუტური სიდიდეები. ამ განსაზღვრათა კატალოგური ალბათი ცდომილება ტოლია $\pm 0^m.4$ [4].

დასასრულ საკითხია აღინიშნოს, რომ მკრთალ ვარსკვლავთა სპექტრული აბსოლუტური სიდიდეების განსაზღვრა ჩვენთან სრულიად მიზანშეწონილ საფუძველზეა დამყარებული, რაც ორგანულად უკავშირდება ობსერვატორიაში წარმოებულ მთელ რიგ ღირსშესანიშნავ სამუშაოებს, კერძოდ გალაქტიკაში სინათლის კოსმოსური შთანთქმის შესწავლის დარგში. მკრთალ ვარსკვლავთა აბსოლუტური სიდიდეების განსაზღვრა კაპტეინის ამა თუ იმ არეებში მეტად საინტერესო ამოცანაა, ხოლო ასეთი სამუშაოების ერთდროულად განხორციელება ერთსა და იმავე ობსერვატორიაში და ერთსა და იმავე აპარატურაზე მეტად მნიშვნელოვან ფაქტს წარმოადგენს. ამგვარად, ამოცანის ასეთი მიზანდასახული დასმა საინტერესოა როგორც თავისთავად, ისე ობსერვატორიის საერთო საქმიანობისათვის.

საქართველოს სსრ მეცნიერებათა აკადემია
 აბასთუმნის ასტროფიზიკური ობსერვატორია
 მთა ყანობილი

(რედაქციას მოუვიდა 12.3.1951)

დამრწმნებელი ლიტერატურა

1. Б. К а л а н д а д е. გვიანი სპექტრული კლასების (G და K) მკრთალი ვარსკვლავების აბსოლუტური სიდიდეთა განსაზღვრა სიობიექტივო პრიზმით მიღებული სპექტრების საშუალებით. აბასთუმნის ასტროფიზიკური ობსერვატორიის ბიულეტენი, № 10, 1949.
2. W. S. A d a m s, A. H. J o y, M. L. H u m a s o n, A. M. B r a y t o n. The spectroscopic absolute magnitudes and parallaxes of 4179 stars. Astrophys. Journal, 81, p. 187, 1935.
3. Р. А. Б а р т а я. Спектральные абсолютные величины и параллаксы слабых звезд типа B и A (საკანდიდატო დისერტაცია; ხელნაწერი), 1951.
4. Л. С. Т а л к и н. Двухмерная классификация спектров, полученных с очень малой дисперсией (автореферат диссертации), 1950.

ტექნიკა

ლ. აბელიშვილი და ბ. ლეჟავა

ქსელში ძაბვის მნიშვნელოვანი ვარდენისას ვატარებლის სვლის დროის შესწორება

(წარმოადგინა აკადემიის ნამდვილმა წევრმა ა. დიდებულმა 19.12.1950)

ელექტრული მატარებლების სავადსარბენო სვლის დრო დამოკიდებულია ლოკომოტივის პანტოგრაფთან ძაბვის სიდიდეზე, რომელიც შეიძლება განსხვავდებოდეს, და მასთან საგრძნობლადაც, ნომინალური ძაბვისაგან. მატარებლის სვლის დროის განსაზღვრა ძაბვის ფაქტობრივი ცვლილების გათვალისწინებით თავისთავად წარმოადგენს აქტუალურ ამოცანას, რომელიც დაიყვანება წვეის სპეციალურ ანგარიშებზე [1], მაგრამ ეს ანგარიშები საკმარისად დიდი და შრომატევადია.

ამიტომ ძაბვის დიდი ვარდენის შემთხვევაში განსაკუთრებულ ინტერესს წარმოადგენს სვლის დროის მიახლოებული განსაზღვრა, რაიმე შესწორების სახით იმ დროისაგან, რომელიც გამოთვლილია ნომინალური ძაბვისათვის.

ასეთი შესწორებები მოცემული იყო სხვა ავტორების მიერ, მაგრამ მანვერ ჰოვა გავრცელება.

მოცემულ ნაშრომში წამოყენებულია სვლის დროის შესასწორებელი ფორმულა შემცირებული ძაბვის შემთხვევისთვის და მოყვანილია ამ ფორმულის შემოწმება.

§ 1. მატარებლის სვლის დრო U ნომინალური ძაბვის დროს აღენიშნოთ $t = t_1 + t_2$ -ით, t' -ით კი დრო $U' < U$ შემთხვევაში.

მაშინ t და t' შორის დამოკიდებულება—შესწორების ფორმულა—შეიძლება წარმოგვიდგეს შემდეგი სახით⁽¹⁾:

$$t' = \frac{t}{1-\epsilon} + (1-\epsilon)t_2, \quad (1)$$

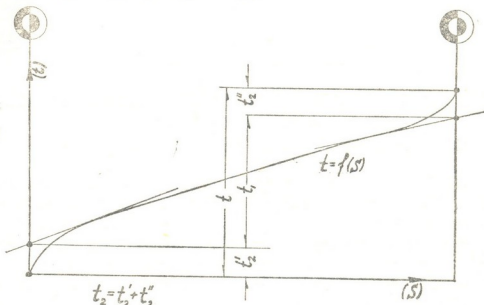
სადაც t_1 და t_2 , t -ის მდგენელები გამოხატავს სათანადოდ „სუფთა“ სვლისა და აჩქარება-შენელებაზე დახარჯულ დროს, ხოლო ϵ კოეფიციენტი, დაახლოებით ძაბვის შეფარდებითი საშუალო ვარდენის ტოლი.

(1) ფორმულა აგებულია იმ პირობაზე, რომ ძაბვა მოქმედებს მხოლოდ „სუფთა“ სვლის დროზე, ხოლო აჩქარება და შენელება არ არის დამოკიდებული ძაბვის სიდიდეზე.

§ 2. t_1 და t_2 მდგენელების გამოყოფა საერთო სვლის დროიდან შეიძლება მოხდეს მზების გავლებით სვლის დროის $t = f(x)$ მრუდზე, როგორც ეს

⁽¹⁾ ფორმულა (1) განსხვავდება კ. მარკვარდტის მიერ [2] რეკომენდებული ფორმულიდან t_2 -თან $(1-\epsilon)$ მამრავლით.

ნაჩვენებია 1 სურათზე. მხებების გავლება არ წარმოადგენს სირთულეს, რამდენადაც $t=f(s)$ მრუდი ქორდებით იგება.



სურ. 1. აჩქარება-შენელებაზე დროის t_2 შესწორების გამოყოფა

§ 3. კოეფიციენტი ϵ უმეტეს შემთხვევაში შეიძლება მიღებულ იქნეს მოცემულ გადასარბენზე $\Delta U_{\text{სა}} : U$ შეფარდებითი საშუალო ვარდნის ტოლი. გამოწვევის წარმოადგენს მცირე წონის მატარებლები და იოლი პროფილის გადასარბენები, დაახლოებით ნულოვანი საშუალო ქანობით.

ამ შემთხვევაში კოეფიციენტი ϵ შეიძლება აღებულ იქნეს დამყარებული სიჩქარეების შეფარდებიდან:

$$1 - \epsilon = \frac{V'}{V}, \quad (2)$$

რომელთა მნიშვნელობები ადვილად მიიღება ლოკომოტივის წვეის მახასიათებლებისა და მოძრაობის სრული წინააღობების W მიხედვით, როგორც ეს ნაჩვენებია მე-2 სურათზე.

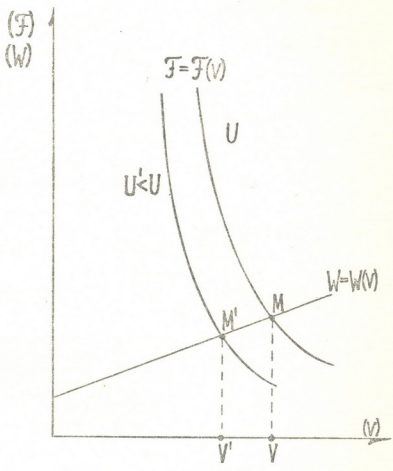
§ 4. მოყვანილი (1) ფორმულის შესამოწმებლად ჩატარდა მთელი რიგი ზუსტი წვეის ანგარიშები, მატარებლების სხვადასხვა წონის, პროფილისა და ძაბვების შემთხვევებში, $B, T - 22^{\text{M}}$ ელექტრომავლისა და შემადგენლობისათვის საშუალო-შეწონილი ხვედრითი წინააღობით, რომელიც გამოთვლილია ფორმულით:

$$w = 1,4 + 0,03 V \text{ კგ/ტნ};$$

სულ გაანგარიშებული იყო 200-ზე მეტი შემთხვევა. ანგარიშები წარმოებდა 830, 1000, 1500, 2000, 2500 და 3000 ტონის წონის მატარებლებისათვის. ამასთან საშუალო ძაბვები პანტოგრაფზე აღებული იყო: 1500, 1800, 2100, 2400, 2700, 3000 და 3300 ვოლტისა.

ძირითად ძაბვად, რომლისთვისაც გამოთვლილ დროს ედრებოდა სხვა ძაბვის დროები, მიღებული იყო 3000 ვოლტი¹.

გადასარბენის პროფილი მიღებული იყო იმ სქემით, რომელიც ნაჩვენებია მე-3 სურათზე, სადაც i -ს ეძლეოდა შემდეგი მნიშვნელობები: $-5, 0, +5, +10, +15, +20, +25$ და $+30\%$.



სურ. 2

პროცენტობით გამოსახული განსხვავება (1) ფორმულით ნაანგარიშები შედეგებისა ფაქტობრივ დროებთან შედარებით მოცემულია ცხრილში.

§ 5. (1) ფორმულის შედეგების შედარებიდან ზუსტი ანგარიშების შედეგებთან შეიძლება გაკეთდეს შემდეგი დასკვნები:

ა) ფორმულა გამოსადეგია შატარებლის დენით სვლისათვის, როდესაც სიჩქარე არ იზღუდება ძაბვაზე დამოუკიდებელი პირობებით (მუხრუჭები, ლიანდაგი, კონსტრუქცია). იმ შემთხვევაში, როცა სიჩქარე შეზღუდულია, ძაბვის როლი გადადის მეორე რიგზე, ხოლო გრძელ დაღმართებზე ძაბვის გავლენა სვლის დროზე სრულიად უმნიშვნელო ხდება.

¹ ტექსტში და სურათზე მიღებულ აღნიშვნას $U' < U = 3000$ ვ აქვს პირობითი ხასიათი და არ ეხება $U = 3300$ -ს. უფრო სწორად რომ ვთქვათ, საჭიროა დაწეროდა $U' \neq U$.

ა-ს სხვადასხვა მნიშვნელობისთვის (1) ფორმულით განსაზღვრული სვლის დრო, გამოზატული პროცენტობით ზუსტი ანგარიშით მიღებულ სვლის დროსთან შედარებით

P+Q ბ	i %/oo	U'=1500 გ		U'=1800 გ		U'=2100 გ		U'=2400 გ		U'=2700 გ		U'=3000 გ	
		$1-\epsilon = \frac{U'}{U}$	$1-\epsilon = \frac{U'}{V}$	$1-\epsilon = \frac{U'}{U}$	$1-\epsilon = \frac{U'}{V}$	$1-\epsilon = \frac{U'}{U}$	$1-\epsilon = \frac{U'}{V}$	$1-\epsilon = \frac{U'}{U}$	$1-\epsilon = \frac{U'}{V}$	$1-\epsilon = \frac{U'}{U}$	$1-\epsilon = \frac{U'}{V}$	$1-\epsilon = \frac{U'}{U}$	$1-\epsilon = \frac{U'}{V}$
830	+5	105	102,5	102,5	101,6	102,3	100,6	103,4	103,1	101	101,8	99,5	100,1
	+10	98,5	93,3	99,8	99,6	98,6	98,5	99	98,9	98,5	98	99,1	100,1
	+20	99,5	103,2	98,6	101	99	99,9	99,5	100,2	98,9	99,5	96,7	97
	+30	107	110	105	101	101,7	102	100,1	100,1	99	99	99,6	98
1000	+5	103	104,8	102,5	100,2	102	99,6	101	99,8	99,6	99,2	98,2	98,9
	+10	101,5	101,6	99,5	99,8	99,4	98,8	99,3	99,3	100,6	100,2	100,2	100,8
	+20	98,6	102,3	97,2	100,1	99,5	100,8	98,8	99,6	99,4	99,5	99,3	99
	+25	93,4	96,5	96	100,2	101	102,1	100,2	101,6	99,9	101,5	99,3	99
1500	+0	114,5	103	108,8	102,4	105,6	101,3	103	101,4	100,5	99,3	99,4	100,1
	+5	100,8	98,9	96,8	99	99,3	97,2	100,5	99,8	99,5	99,4	99,2	99,2
	+10	93,5	102,1	99,7	101,5	100,4	101	100,6	101,3	100,5	101,1	99,6	99,6
	+15	96	96,6	98,6	101,8	98,8	100,3	100,1	101,5	99,4	100,1	99,4	98,6
2000	0	113	103,7	108,5	102,5	105,1	101,2	103	101,7	101,1	99,8	99,5	99,8
	+5	101,1	102,8	101,5	101,5	101	101	101,5	101,5	100,8	100,1	98,9	97,2
	+10	98,5	102	98,1	98,6	100,4	101,2	101,4	102,3	100	100,1	99,2	99,3
2500	0	112,7	105,8	108	102,5	104,5	100,7	102,8	102,4	101,8	101,9	98,5	99,4
	+5	100,4	102	101	102,2	103,2	102,5	102,4	102	102,1	102,2	97,0	97
3000	0	111,5	104,4	108,5	103,2	105	101	103,5	101,4	101,6	100,6	99,1	100,1
	+5	97,8	100,4	101,5	103,5	103	102,9	100,1	100,5	102,1	100,8	98,7	99,4

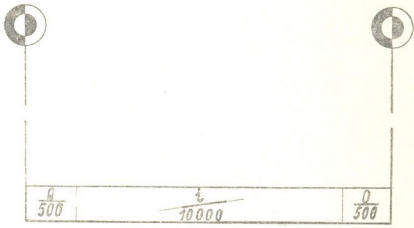
მეცნიერებათა აკადემია

შეზღუდული სიჩქარით ხანგრძლივად სვლის შემთხვევაში დროის შემცირებულ დაბეჭდვებზე შესწორება წარმოადგენს დამოუკიდებელ ამოცანას, რომელიც ვერ თავსდება (1) ფორმულაში.

ბ) ქანობებისათვის $i=0 \div 30\%$ ფორმულისა და ზუსტი ანგარიშების მონაცემებს შორის განსხვავება არ აღემატება $\pm 3,5\%$. გამონაკლისს წარმოადგენს 4 შემთხვევა. 114-დან, როდესაც განსხვავება აღწევს $4,4 \div 7\%$.

გ) მსუბუქი პროფილის დროს (1) ფორმულით უფრო სწორ შესწორებას ვღებულობთ მასში (2) ფორმულიდან გამოთვლილი ϵ კოეფიციენტის ჩასმით.

5465



სურ. 3

მძიმე $i_{საშ} \cong 4\%$ ქანობების შემთხვევაში კოეფიციენტი ϵ შეიძლება მივიღოთ მოცემულ გადასარბენზე ძაბვის შეფარდებითი საშუალო ვარდნის ტოლი ($\Delta U_{საშ} : U$).

§ 6. ანგარიშების წარმოების წესი შემდგენიანია: სვლის ძირითადი დროიდან გამოიყოფა „სუფთა“ სვლის t_1 დრო და t_2 დრო, დაკარგული აჩქარება-შენელებაზე, როგორც ეს ნაჩვენებია 1 სურათზე.

(1) ფორმულაში ჩასმული ϵ კოეფიციენტი [$i_{საშ} \cong 4\%$ ქანობებისთვის მიიღება $\Delta U_{საშ} : U$ -ს ტოლი, უფრო მცირე ქანობებისათვის ϵ გაიგება მე-2 სურათის თანახმად, სახელდობრ: ჯერ გაიგება საშუალო სიჩქარე როგორც $V=L:t$, სადაც L გადასარბენის სიგრძეა, ხოლო ამ სიჩქარის მიხედვით წვევის ძალის $F=F(V)$ მრუდზე მოიძებნება წერტილი M .

M -ზე ტარდება მოძრაობის წინაღობის ხაზი, MM' ნულოვანი ქანობის წინაღობის ხაზის პარალელური.

ძაბვა $U' < U$ -ის შესაბამის $F=F(V)$ წვევის ძალის მრუდზე გადაკვეთის შედეგად მოინახება M' წერტილი, რომლის პროექცია იძლევა სიჩქარეს V' .

V და V' -ის ჩასმით (2) ფორმულაში ვღებულობთ ϵ -ის მნიშვნელობას.

გ. ი. ლენინის სახელობის რკინიგზის
ტრანსპორტის ინჟინერთა თბილისის ინსტიტუტი
თბილისი

(რედაქციას მოუვიდა 23.12.1950)



დამოწმებული ლიტერატურა

1. ლ. აბელიშვილი. მატარებლის სელის დროის განსაზღვრა ქსელში მნიშვნელოვანი დაცვლებადი ძაბვის ვარდნის შემთხვევაში. საქართველოს სსრ მეცნიერებათა აკადემიის მოამბე, № 3, 1949.
2. К. Г. Марквардт. Энергоснабжение электрифицированных железных дорог. Москва, 1948.

ინფორმაცია

ბ. ლორთქიფანიძე

განვითარებული უკუწრედის პირობებში ელემტროდრენაჟების მუშაობის გამოკვლევის მეთოდისა და მათი გათვლის ზუსტის შესახებ

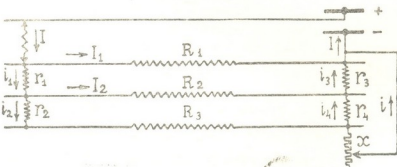
(წარმოადგინა აკადემიის ნამდვილმა წევრმა ა. დიდუბლიძემ 20.2.1951)

ელემტროდრენაჟის მოხეტიალე დენებისაგან ელემტროდრენაჟის საშუალებით მიწისქვეშა ლითონის ნაგებობათა დაცვის ფართო გავრცელება [1] საჭიროდ ხდის ელემტროდრენაჟების მუშაობის გამოკვლევის მეთოდების შემდგომ გაუმჯობესებას და მათი ელემენტების ინჟინრული გათვლის ზედხევის გამოძენას [2].

საქართველოს სსრ მეცნიერებათა აკადემიის ენერგეტიკის ინსტიტუტში დამუშავებულია ელემტროდრენაჟის გათვლის მეთოდი, რომელიც გამოსადეგია იმ შემთხვევისათვის, როდესაც დასაცავი ნაგებობა ელემტროდრენაჟის არაგანვითარებული უბნის პარალელურადაა გაყოფილი [3]. ეს მეთოდი დამყარებულია სამწრედა უკუწრედში დენის განაწილების თეორიაზე [4], რაც იწვევს ისეთი გათვლების წარმოებას, რომელიც ბევრ დროს თხოულობს და ხანდახან ართულებს მგეგმარის მუშაობას.

მიუხედავად ამისა, ელემტროდრენაჟული დაცვის გამარტივებული და საინჟინრო თვალსაზრისით მისაღები გათვლა რთული განვითარებული სისტემის პირობებში შესაძლოა, თუკი ყოველ ცალკეულ შემთხვევაში წინდაწინვე იქნება ჩატარებული ზოგი მარტივი გამოკვლევა.

გადავიდეთ თვით მეთოდის აღწერაზე.



ნახ. 1

ელემტროდრენაჟიანი ყოველი უკუწრედი, მიუხედავად მისი სირთულისა, შეიძლება საკმაო სიზუსტით დაყვანილ იქნეს, მოცემული შემწოვი ფიდერის მოქმედების ზონაში, ნახ. 1-ზე გამოსახულ ეკვივალენტურ სქემამდე.

შემოვიღოთ შემდეგი აღნიშვნები:

x —ელექტროდრენაჟის წინალობა.

R_2, R_2, R_3 —რელსების, მიწის (ელექტროდრენაჟით დაუცავ ნაგებობათა ჩათვლით) და ელექტროდრენაჟთან მიერთებულ ნაგებობათა ჯგუფის დროის მიხედვით საშუალო ეკვივალენტური წინალობები;

r_1, r_3 —რელსებსა და მიწას (ელექტროდრენაჟით დაუცავ ნაგებობათა ჩათვლით) შორის დროის მიხედვით საშუალო გარდამავალი წინალობები დენის რელსებიდან გამოსვლისა და რელსებში შესვლის ზონებში;

r_2, r_4 —მიწის (ელექტროდრენაჟით დაუცავ ნაგებობათა ჩათვლით) და ელექტროდრენაჟთან მიერთებულ ნაგებობათა ჯგუფს შორის დროის მიხედვით საშუალო გარდამავალი წინალობები დენის ამ ჯგუფში შესვლისა და მისგან გამოსვლის ზონებში;

I —შემწოვ ფიდერში დენის დროის მიხედვით საშუალო მნიშვნელობა;

i —ელექტროდრენაჟში დენის დროის მიხედვით საშუალო მნიშვნელობა;

$i_4 - r_4$ წინალობაზე გამავალი დენის დროის მიხედვით საშუალო მნიშვნელობა (ელექტროდრენაჟთან შეერთებულ ნაგებობათა ჯგუფიდან გაჯონვის დენის ან ამ ჯგუფში შედინების დენის მნიშვნელობა).

ზემოთ მოყვანილი სიდიდეები განხილულია როგორც საშუალონი დროის მიხედვით, ვინაიდან დროის გარკვეული მონაკვეთის განმავლობაში ისინი, ცალკეულ დატვირთვათა ადგილმდებარეობის, რაოდენობისა და სიდიდეების ცვლილებასთან დაკავშირებით, განიცდიან რხევას რომელიმე საშუალო სთანადო სიდიდეების ირგვლივ. მიწისქვეშა ნაგებობების ელექტროკოროზიის თვალსაზრისით საინტერესოა სწორედ ეს საშუალო სიდიდეები.

თუ ვისარგებლებთ კვანძიან და კონტურებიან წრედებში დენის განაწილების ცნობილი წესებით, შეგვიძლია მივიღოთ:

$$i = \frac{A}{B - x}, \quad (1)$$

$$i_4 = \frac{-C + Dx}{B + x}, \quad (2)$$

სადაც

$$A = \frac{IR_1 [r_3 (r_2 + r_4 + R_2 + R_3) + r_4 R_2]}{(r_1 + r_3 + R_1) (r_2 + r_4 + R_2 + R_3) + R_2 (r_2 + r_4 + R_3)},$$

$$B = \frac{r_3 [(r_1 + R_1) (r_2 + r_4 + R_2 + R_3) + R_2 (r_2 + R_3)] + r_4 [R_2 (r_3 + R_1) + (r_2 + R_2 + R_3) (r_1 + r_3 + R_1 + R_2)]}{(r_1 + r_3 + R_1) (r_2 + r_4 + R_2 + R_3) + R_2 (r_2 + r_4 + R_3)},$$

$$C = \frac{Ir_3 R_1 (r_2 + r_3)}{(r_1 + r_3 + R_1) (r_2 + r_4 + R_2 + R_3) + R_2 (r_2 + r_4 + R_3)},$$

$$D = \frac{IR_1 R_2}{(r_1 + r_3 + R_1) (r_2 + r_4 + R_2 + R_3) + R_2 (r_2 + r_4 + R_3)}.$$



(2) განტოლებიდან გამომდინარეობს, რომ დაცულ ნაგებობათა ჯგუფის დროის მიხედვით საშუალო პოტენციალი მიწის მიმართ დრენაჲის ადგილას ტოლია

$$v = ki_4 r_4 = \frac{-kr_4 C + kr_4 D x}{B + x} = \frac{-C + D' x}{B + x}, \quad (3)$$

სადაც k პროპორციობის რომელიმე კოეფიციენტი.

v სიდიდის მიხედვით მსჯელობენ ხოლმე ნაგებობიდან მიწაში დენის გაჟონვის ხასიათის შესახებ. ამ მიზნით ნაგებობაზე აწყობენ საკონტროლო წერტს, სადაც გამოყვანილია ორი იზოლირებული სადენი, რომელთაგან ერთი გამოდის ნაგებობის კორპუსიდან, მეორე კი იქვე მყოფი დამმიწებლისაგან. თუ სხენებულ სადენთა შორის ჩავრთავთ მაღალწინალობიან ვოლტმეტრს (პლიუსს—ნაგებობაზე, მინუსს—დამმიწებელზე), შესაძლო ხდება დროის მიხედვით საშუალო რომელიმე u პოტენციალის გაზომვა დამმიწებლის მიმართ. ჩვეულებრივ u სიდიდე ახლოა v სიდიდესთან.

განსხვავება u და v სიდიდეთა შორის მით აიხსნება, რომ v სიდიდეს ხშირად ემატება შებრუნებული ნიშნით დროის მიხედვით საშუალო რაღაც $E \equiv 0$ პოტენციალი, რომელიც ჩვეულებრივ შედგება:

- ა) „დამმიწებელი—მიწა“ წყვილისა გაღვანური პოტენციალისაგან,
- ბ) „ნაგებობა—მიწა“ წყვილისა გაღვანური პოტენციალისაგან,
- გ) იმ პოტენციალისაგან, რომელიც იქმნება რომელიმე ახლო მდებარე მუდმივი დენის წყაროს დამიწებული ნაწილით.

ამგვარად, ვოლტმეტრი გაზომავს შემდეგ სიდიდეს:

$$u = v + E = \frac{-C + D' x}{B + x} + E = \frac{(EB - C) + (E + D') x}{B + x} = \frac{P + Q x}{B + x}, \quad (4)$$

სადაც, საერთოდ რომ ვთქვათ, P და Q კოეფიციენტები შეიძლება იყოს როგორც დადებითი, ისე უარყოფითი, თუმცა ჩვეულებრივად $P < 0$ და $Q > 0$. საქირია აღინიშნოს, რომ შემთხვევა $P \equiv 0$ გვიჩვენებს E სიდიდის არანორმალურად დიდ აბსოლუტურ მნიშვნელობას, როდესაც უკვე აღარ ხდება საკმარისი დაექმყოფილდეთ მარტო დრენაჲის საშუალებით დაცვით.

ამგვარად, საქმე გვაქვს (1) და (4) განტოლებებთან და ამოცანა დგება A, B, P, Q კოეფიციენტების ცდის საშუალებით გამოძებნის შესახებ.

A და B კოეფიციენტები შესაძლოა გამოძებნილ იქნეს i დენის გაზომვით ორი, ერთმანეთისაგან შესამჩნეველ განსხვავებული, x -ის მნიშვნელობის დროს. დავუშვათ, რომ

$$i_a = \frac{A}{B + x_a}, \quad i_b = \frac{A}{B + x_b},$$

მაშინ

$$A = \frac{i_a i_b (x_b - x_a)}{i_a - i_b}, \quad (5)$$

$$B = \frac{i_b x_b - i_a x_a}{i_a - i_b}. \quad (6)$$

P და Q კოეფიციენტებიც (თუკი B უკვე ცნობილია) გამოიძებნება u პოტენციალის გაზომვით x -ის ორი სხვადასხვა მნიშვნელობის დროს.

თუ ამ დროს

$$u_a = \frac{P + Qx_a}{B + x_a}, \quad u_b = \frac{P + Qx_b}{B + x_b},$$

მაშინ

$$P = \frac{u_a i_b x_b + u_b i_a x_a}{i_a - i_b}, \tag{7}$$

$$Q = \frac{u_b i_a - u_a i_b}{i_a - i_b}. \tag{8}$$

A, B, P, Q სიდიდეთა განსაზღვრა უნდა ხდებოდეს შემდეგი გასათვლელი სქემით: ვთქვათ, გვაქვს შემდეგი რიგით ჩატარებული $n + 1$ გაზომვა,

როდესაც	$x = x_0$	$i = i_0, u = u_0,$
	$x = x_1$	$i = i_1, u = u_1,$

	$x = x_n$	$i = i_n, u = u_n.$

$(x_0, x_1), (x_0, x_2), \dots (x_0, x_n)$ n წყვილ-წყვილად აღებულ მნიშვნელობათა მიხედვით და (5)—(8) განტოლებათა საშუალებით მივიღებთ თვითეული საპოვნელი კოეფიციენტისათვის შემდეგ n მნიშვნელობას:

- A_1, B_1, P_1, Q_1
- A_2, B_2, P_2, Q_2
- ...
- ...
- A_n, B_n, P_n, Q_n

ამ კოეფიციენტების საანგარიშო მნიშვნელობისთვის შეგვიძლია მივიღოთ შემდეგი სიდიდენი:

$$A = \frac{1}{n} \sum_1^n A_k, \quad B = \frac{1}{n} \sum_1^n B_k, \quad P = \frac{1}{n} \sum_1^n P_k, \quad Q = \frac{1}{n} \sum_1^n Q_k.$$

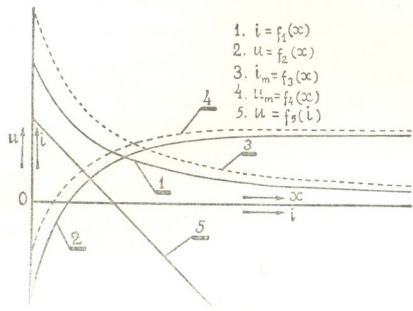
აქ ცალკეული შესაკრებნი ჯამის ნიშნის ქვეშ, ჩვეულებრივ, მცირედ განირჩევიან ერთმანეთისაგან, რის გამო საკმაოა მივიღოთ $n = 5$. მოხერხებული იქნება, თუ x_0 მაგვირად მივიღებთ $x_0 = 0$ (მოკლედ ჩართული ელექტროდრენაჟი), მაგრამ იმ პირობით, თუ ეს საფრთხეს არ გამოიწვევს დასაცავი ან მეზობელი ნაგებობების მიმართ.

(1) და (4) განტოლებებიდან შეგვიძლია მივიღოთ კიდევ ერთი ელექტროდრენაჟის დამახასიათებელი შემდეგი განტოლება:

$$u = Q - \frac{QB - P}{A} i. \tag{9}$$

(1), (4) და (9) განტოლებებით გამოხატულ დამოკიდებულებებს შესაბამისად ვუწოდოთ (იხ. ნახ. 2):

- ა) ელექტროდრენაჟის დენური მახასიათებელი (მრუდი 1);
- ბ) ელექტროდრენაჟის პოტენციალური მახასიათებელი (მრუდი 2);
- გ) ელექტროდრენაჟის ვოლტამპერული მახასიათებელი (მრუდი 5).



ნახ. 2

თუკი ვიცით დენური მახასიათებელი, შეგვიძლია ავაგოთ მრუდთა შემდეგი ოჯახი:

$$i_p = \frac{A}{B - p + x}, \tag{10}$$

სადაც p ცვლადი პარამეტრია, რომელიც ახასიათებს დენური მახასიათებლის x -თა ღერძის გასწვრივ გადაადგილებას (მარჯვნივ—თუ $p < 0$, და მარცხნივ—თუ $p > 0$). მივიღოთ, რომ ყოველი ასეთი გადაადგილება შეესაბამება ყოველ ცალკეულ განაზომს i_p დენის მყისური მნიშვნელობისა, რომელიც განიჩქევა დროის მიხედვით საშუალო i დენის მნიშვნელობიდან შემდეგი სიდიდით:

$$\Delta i = \frac{A}{B - p + x} - \frac{A}{B + x}.$$

დრენაჟში დენის მყისური მნიშვნელობის შედარებით გადახრა მასში მოკლე ჩართვის დროის მიხედვით საშუალო i_0 დენთან შეფარდებით შეიძლება მოძებნილ იქნეს უშუალოდ განაზომებიდან. იგი ტოლია

$$\delta = \frac{\Delta i}{i_0} = \frac{B \Delta i}{A} = \frac{pB}{(B - p + x)(B + x)}.$$

ელექტროდრენაჟის ელემენტების გასათვლელად ინტერესს წარმოადგენს δ -ს უდიდესი რიცხობრივი მნიშვნელობა, როდესაც

$$x = 0, \delta = \delta_m = \frac{P}{B - p}, \text{ ე. ი., როდესაც } p = \frac{\delta_m B}{1 + \delta_m},$$

რასთან დაკავშირებით (10) განტოლებიდან მივიღებთ გასათვლელ მაქსიმალურ მყისურ დენს:

$$i_m = \frac{A(1 + \delta_m)}{B + x + \delta_m x} = \frac{1 + \delta_m}{1 + \frac{\delta_m x}{B + x}} i. \quad (11)$$

(11) მრუდს ვუწოდოთ მაქსიმალურპარამეტრიანი დენური მახასიათებელი, რომლითაც შეგვიძლია ვისარგებლოთ ელექტროდრენაჟის წინაღობის ცალკეულ სექციათა კვეთის ამოსარჩევად.

ნახ. 2-ზე ნაჩვენებია ხსენებული მახასიათებელი (მრუდი 3).

თუკი ვიცით პოტენციალური მახასიათებელი, შეგვიძლია ავაგოთ მრუდთა შემდეგი ოჯახი:

$$u_q = \frac{P + Q(x - q)}{B - q + x}, \quad (12)$$

სადაც q ცვლადი პარამეტრია, რომელიც ახასიათებს პოტენციალური მახასიათებლის x -თა ღერძის გასწვრივ გადაადგილებას (მარჯვნივ — თუ $q < 0$, და მარცხნივ — თუ $q > 0$). მივიღოთ, რომ ყოველი ასეთი გადაადგილება შეესაბამება ყოველ ცალკეულ განაზომს u_q პოტენციალის მყისებური მნიშვნელობისა, რომელიც განირჩევა დროის მიხედვით საშუალო u პოტენციალის მნიშვნელობისგან შემდეგი სიდიდით:

$$\Delta u = \frac{P + Q(x - q)}{B - q + x} - \frac{P + Qx}{B + x}.$$

ნაგებობის პოტენციალის მყისური მნიშვნელობის შედარებითი გადახრა გამოთიშული დრენაჟის შემთხვევაში დროის მიხედვით საშუალო u_{∞} პოტენციალთან შედარებით შეიძლება მოძებნილ იქნეს უშუალოდ განაზომებიდან. იგი ტოლია

$$\varepsilon = \frac{\Delta u}{u_{\infty}} = \frac{\Delta u}{Q} = - \frac{q(BQ - P)}{Q(B - q + x)(B + x)}.$$

ელექტროდრენაჟის ელემენტების გათელისათვის ინტერესს წარმოადგენს ε -ის უდიდესი რიცხობრივი მნიშვნელობა, როდესაც

$$x = 0, \varepsilon = \varepsilon_m = - \frac{q(QB - P)}{QB(B - q)},$$

ე. ი. როდესაც

$$q = - \frac{\varepsilon_m B^2 Q}{BQ(1 - \varepsilon_m) - P},$$

რასთან დაკავშირებით (12) განტოლებიდან მივიღებთ გასათვლელ მაქსიმალურ მყისურ პოტენციალს

$$u_m = \frac{1 - \frac{Qq}{P + Qx}}{1 - \frac{q}{B + x}} = \frac{BQ(1 - \varepsilon_m) - P + \frac{\varepsilon_m B^2 Q^2}{P + Qx}}{BQ(1 - \varepsilon_m) - P + \frac{\varepsilon_m B^2 Q}{B + x}} u. \quad (13)$$

(13) მრულს ვუწოდოთ მაქსიმალურპარამეტრიანი პოტენციალური მახასიათებელი, რომლითაც შეგვიძლია ვისარგებლოთ ელექტროდრენაის წინაღობის ოპტიმალური სიდიდის წინდაწინ დასადგენად (ეს სიდიდე უნდა ჰქონდეს ერთ-ერთ შუალედ სექციას).

ეს ოპტიმალური x_m მნიშვნელობა გამოინახება პირობიდან: $u = 0$, საიდანაც (4) და (13) თანახმად

$$x_m = - \frac{B^2 Q}{BQ(1 - \epsilon_m) - P} - \frac{P}{Q} \quad (14)$$

ნახ. 2-ზე ნაჩვენებია პოტენციალური მახასიათებელი (მრული 4).

ვოლტამპერული მახასიათებელი შეიძლება გამოისახოს შემდეგი განტოლებით:

$$u = u_{\infty} - \frac{u_{\infty} - u_0}{i_0} i, \quad (15)$$

სადაც $u_{\infty} = Q$ და $u_0 = \frac{P}{B}$ წარმოადგენენ გამოთიშულ და მოკლედ ჩართულ

ელექტროდრენაის შემთხვევაში მიწისქვეშა ნაგებობის პოტენციალებს, $i_0 = \frac{A}{B}$

კი არის მოკლედ ჩართულ ელექტროდრენაში გამავალი დენი. (15) განტოლებიდან პირდაპირ ვღებულობთ:

$$\frac{\Delta u}{u_{\infty}} = - \left[1 - \frac{u_0}{u_{\infty}} \right] \frac{\Delta i}{i_0}, \text{ ანუ } \epsilon_m = - \frac{BQ - P}{BQ} \delta_m;$$

თუ აქ ჩავსვამთ ϵ_m -ისა და δ_m -ის მნიშვნელობებს, მივიღებთ:

$$p = q. \quad (16)$$

მაშ, წინა ფორმულებში შეიძლება q პარამეტრი შევცვალოთ p პარამეტრით, რის გამო ადვილად მივიღებთ:

$$u_p = \frac{P + Q(x - p)}{A} i_p. \quad (17)$$

ვინაიდან x -თან შედარებით p ჩვეულებრივ მცირეა, ამიტომ (17) განტოლების მიხედვით შეიძლება ითქვას, რომ, თუ x საკმაოდ დიდია, ელექტროდრენაის მოცემული წინაღობის დროს დრენაში გამავალი დენისა და ნაგებობის პოტენციალის მყისურ მნიშვნელობათა ცვლილება ერთმანეთის დაახლოებით პროპორციულია.

შეიძლება ავარეთვე შეინიშნოს, რომ ელექტროდრენაის ნაგებობის პოტენციალზე ზეგავლენის შესაფასებელი კრიტერიუმია

$$k = \frac{\Delta u}{i} = \frac{QB - P}{B + x} \Delta x$$

დამოკიდებულია ა-ზე და, ცხადია, არ შეიძლება განხილულ იქნეს როგორც მუდმივი, ელექტროდრენაჟის წინააღმდეგ დამოუკიდებელი, სიდიდე, რის გამოც არ გვაქვს საფუძველი მოხერხებულად შერჩეულად ჩავთვალოთ ეს კრიტერიუმი.

საქართველოს სსრ მეცნიერებათა აკადემია
ენერგეტიკის ინსტიტუტი
თბილისი

(რედაქციას მოუვიდა 3.3.1951)

დამოწმებული ლიტერატურა

1. И. М. Ершов. Защита подземных сооружений от коррозии, вызываемой блуждающими токами. Труды Всесоюзного научно-исследовательского института железнодорожного транспорта, выпуск 21, 1948.
2. Аз ВНИГОЭ и АзИИ им. Азизбекова. Резолюция научно-технического совещания 21-23 ноября 1949 года по защите трубопроводов и кабелей от коррозии. Баку, 1949.
3. Б. Г. Лорткифანიძე. Принципы расчета электродренажей на тяговых подстанциях электрических железных дорог (рукопись в Энергетическом институте АН Груз. ССР), 1949.
4. ბ. ლორთქიფანიძე. მიწისქვეშა გამტარის მქონე ელექტრული რკინიგზების უკუწრედში დენების განაწილება და მოდელირების საკითხები. საქ. სსრ მეცნიერებათა აკადემია, ენერგეტიკის ინსტიტუტის შრომები, ტ. V, 1950.



ბოტანიკა

ბ. ნაცვლიშვილი

ზოგბიერთი ჯივის ქართული ვაჯისა და საძირე ჰიბრიდების დაფესვიანების უნარინანობა

(წარმოადგინა აკადემიის ნამდვილმა წევრმა ლ. ყანაველმა 29.9.1950)

როგორც ცნობილია, საქართველოში მევენახეობას უხსოვარი დროიდან მისდევნ და ის სოფლის მეურნეობის ერთ-ერთ წამყვან დარგს წარმოადგენს.

ვაჯს ძირითადად რქების საშუალებით ამრავლებდნენ, რითაც, მთელ რიგ დადებით თვისებებთან ერთად, მიღებული ახალი მცენარე მკვიდრად ინარჩუნებდა თავისი მშობლის ნიშანთვისებებს. აღნიშნული წესი ამჟამადაც ფართოდ არის გამოყენებული მევენახეობის პრაქტიკაში [2]. მაგრამ მის შემდეგ, რაც ფილოქსერის გავრცელების შედეგად დაიწყო ვენახების განადგურება, ხელი მიჰყვეს ვაჯის მცნობით გამრავლებას. საძირედ იღება ფილოქსერის გამძლე ამერიკული ვაჯის ჰიბრიდები [1]: რიპარია X რუბესტრის 3309, 101-14, 3306; ბერლანდიერი X რიპარია 420-ა, 5-ბბ; შასლა X ბერლანდიერი 41-ბ და სხვა.

მაღალხარისხოვანი ნამყენების მიღება, მთელი რიგი ფაქტორების გარდა, საძირის დაფესვიანების უნარზედაც დიდადაა დამოკიდებული, საძირეები კი არაერთნაირად ფესვიანდებიან და მათი არასწორი შერჩევის შედეგად (ადაპტაცია) პირველხარისხოვანი ნამყენების პროცენტული გამოსავლიანობა კლებულობს. მიუხედავად ამისა, მევენახეობის აღდგენა-განვითარების საქმეში ნამყენის წარმოება მაინც ძირითად საშუალებადაა მიჩნეული.

ამასთანავე არის მონაცემები [2, 4] იმის შესახებ, რომ ფილოქსერისადმი გამძლე ადგილობრივი ვაჯის ჯიშების შერჩევით და სათანადო აგროტექნიკის გამოყენებით შესაძლებელია მევენახეობის განვითარებაში საკუთარფესვიანი ვაჯებიც ფართოდ იქნეს გამოყენებული (რქაწითელი, ჩინური, ციცქა, ალექსანდრეული და სხვა), რომლებსაც დაფესვიანების უნარი ასევე განსხვავებული აქვთ.

არის საქართველოს სსრ მინისტრთა საბჭოსა და ცენტრალური კომიტეტის 1948 წლის 17 თებერვლის დადგენილება, სადაც მევენახეობის განვითარებისთვის ერთ-ერთ ღონისძიებად გათვალისწინებულია ქართული ვაჯის ზოგიერთი ჯიშის საკუთარ ფესვებზე გაშენება 500 ჰექტარის რაოდენობით. ანალოგიური ღონისძიებები ტარდება მოლდავეთის სს რესპუბლიკაშიაც [3].

ვაჯის ამა თუ იმ ჯიშის დაფესვიანების უნარიანობაზე, განსაკუთრებით ქართული ვაჯის ჯიშებზე, მონაცემები ჯერ კიდევ მცირე რაოდენობითაა ლიტერატურაში, თანაც არსებული ცნობები ხშირად ერთიმეორეს არ ეთანხმება.

წინამდებარე გამოკვლევა ეხება როგორც ქართული ვაზის ჯიშების, ისე ზოგიერთი საძირე ჰიბრიდის შედარებითი დაფესვიანების უნარიანობის გარკვევას. ცდები ტარდებოდა თბილისის ბოტანიკის ინსტიტუტის მცენარეთა ანატომიისა და ფიზიოლოგიის განყოფილებაში განყოფილების გამგის ლ. ჯაფარიძის წინადადებით. საცდელ ობიექტებად აღებული გექონდა: ქართლური ვაზის 11 ჯიში, დასავლეთ საქართველოს 13 ჯიში და ამერიკული საძირე ჰიბრიდების 5 ჯიში. მასალა აღებული იყო 1947 წლის შემოდგომაზე და ზამთრის განმავლობაში ინახებოდა სილაში (სარდაფის პირობებში). 1948 წლის გაზაფხულზე (აპრილში) კალმები, რომელთა სიმსხო მერყეობდა 0,6—1,0 სმ-მდე, დაიჭრა 3—3 მუხლზე, გაეცალა ყველა კვირტი, გარდა ზედა კვირტიებისა, და მორფოლოგიურად ქვედა მხარით ჩაიწყო წყალში 2—3 სმ სიღრმეზე. კალმების ასეთი დაღობვა გრძელდებოდა ქართლური ვაზის ჯიშებისთვის 18 საათი, ხოლო დასავლეთ საქ. ვაზებისა და საძირე ჰიბრიდებისთვის—20 საათი. ამის შემდეგ ვაზის კალმები თავსდებოდა სათბურში სველნახერხიანი ყუთებით, სათბურში, სადაც ტემპერატურა 26—27°-იყო, ქართლური ვაზის კალმებმა დაჰყო 16 დღე-ღამე, ხოლო დანარჩენებმა 14 დღე-ღამე. სათბურის პერიოდის გავლის შემდეგ ჩატარებული აღრიცხვის მასალები მოყვანილია ცხრილებში 1, 2, 3. 1-ლი ცხრილით ირკვევა, რომ ქართლური ვაზის ჯიშებიდან ყველაზე კარგი დაფესვიანების უნარი ჰქონია თითას, აბისულას, ხარისთვალას, ჩინურს და ფრანგულას, დანარჩენი ვაზის ჯიშები დაფესვიანებას იძლევიან 29%—დან 7%—მდე. სამაგიეროდ ამ ჯიშებზე კალუსის განვითარების მაღალი პროცენტი ექნა მიღებული. თუმცა, როგორც ცნობილია, კალუსების ეფექტიანი განვითარება ყოველთვის არ იძლევა შემდგომ დაფესვიანებას.

ცხრილი 1

აღმოსავლეთ საქართველოს ვაზი (მონაცემები პროცენტობით)

ვაზის ჯიშები	დაფესვიანება			კვირტების მდგომარეობა		
	ფესვებით	კალუსით	უფესვო	გაშლილი	გაუშლელი	მკვდარი
თითა	78	22	0	75	22	3
აბისულა	66	34	0	10	52	38
ხარისთვალა	65	32	3	—	—	—
ჩინური	55	45	0	17	55	28
ფრანგულა	55	45	0	3	17	80
გორულა მწვანე	29	71	0	38	12	50
საფერავი (მეჯვრისხეული)	20	80	0	—	—	—
ბუდეშური	16	80	4	32	12	56
ჭიწურა	16	76	8	—	—	—
დანახარული	15	85	0	—	—	—
გორულა	7	91	2	36	60	4

ასეთივე განსხვავებული დაფესვიანების უნარიანობა გამოაჩვენებს დასავლეთ საქართველოს ვაზის ჯიშებმაც (იხ. ცხრ. 2.).

ამ ცხრილის განხილვიდან ირკვევა, რომ დაფესვიანების ყველაზე კარგი უნარი ჰქონია წულუკიძის თეთრას, შემდეგ ალიგოტეს, ენდელაძის შავს,

ზოგიერთი ჯიშის ქართული ვახისა და საძირე ჰიბრიდების დაფესვა უნარიანობა

ცხრილი 2

დასაფესველ საქართველოს ვახი (მონაცემები პროცენტობით)

ვახის ჯიშები	დაფესვიანება			კვირტების მდგომარეობა		
	ფესვებით	კალუსით	უფესვო	გაშლილი	გაუშლელი	მკვდარი
წულუკიძის თეთრა	75	25	0	100	0	0
ალიგოტე	67	25	8	83	0	17
ენდელადის შავი	60	40	0	80	0	20
მგალობლიშვილი	60	40	0	80	0	20
ციცქა	58	33	9	25	67	8
ქვიშხური	55	45	0	73	0	27
ნაკუთვანული	42	58	0	42	25	33
ალექსანდრეული	27	73	0	73	0	27
უსახელაური	27	64	9	55	0	45
ცოლიკაური	11	67	22	11	89	0
არგვეთული საფერე	0	100	0	79	11	10
მუჯურეთული	0	100	0	78	22	0
ოცხანური საფერე	0	64	36	90	0	10

მგალობლიშვილს, ციციქას, ქვიშხურს და ა. შ. დაფესვიანების სუსტი უნარი აღმოაჩნდათ ჩვენი ცდის პირობებში მუჯურეთულის კალმებს, აგრეთვე არგვეთული საფერისა და ოცხანური საფერის კალმებს.

ვახის საძირე ჰიბრიდების დაფესვიანებაზე წარმოდგენას იძლევა მე-3 ცხრილი.

ცხრილი 3

საძირე ჰიბრიდები (მონაცემები პროცენტობით)

საძირე ჰიბრიდები	დაფესვიანება			კვირტების მდგომარეობა		
	ფესვებით	კალუსით	უფესვო	გაშლილი	გაუშლელი	მკვდარი
არამონ X რუპესტრის გ. № 1	62	38	0	92	8	0
რობ. X რუპესტრის 3306	61	39	0	47	53	0
ბერლანდიერი X რიბ. 5-ბბ	25	56	19	69	0	31
ბერლანდიერი X რიბ. 420-ც	9	91	0	9	36	55
შასლა X ბერლანდიერი 41-ბ	0	36	64	54	46	0

როგორც ეს მონაცემები გვიჩვენებს, არამონ X რუპესტრის გ. № 1 და რობარია X რუპესტრის 3306 დაფესვიანების უნარიანობა დაახლოებით ერთნაირი ყოფილა, ამათთან შედარებით ბერლანდიერის ჰიბრიდებმა დაფესვიანების გაცილებით სუსტი უნარი გამოამჟღავნა.

არა ნაკლებად მკაფიოა ჯიშური სხვადასხვაობა კვირტების განვითარების მხრივაც. ცხრილების ბოლო სვეტში მოყვანილი მკვდარი კვირტების პროცენტური ცდებში აღებული მასალის ხარისხის მაჩვენებელია. ზოგიერთი ჯიშის მასალის ვარგისიანობა, როგორც ჩანს, მეტად დაბალი აღმოჩნდა, რასაც ვითვალისწინებთ დაფესვიანების შედეგების შეფასებისას.

ჩვენ მიერ ჩატარებული ზემოაღწერილი წინასწარი ხასიათის დაკვირვებები მოწმობს, რომ რეგენერაციული უნარიანობა და, კერძოდ, ფესვთა აღდგენის

უნარიანობა მეტად ცვალებადობს ჯიშების მიხედვით. რამდენადაც ყველა ჯიში შედარებული გვაქვს სავსებით მსგავს პირობებში, მევენახეობის განვითარებისთვის აუცილებელია საქართველოს ვაზის ჯიშების რეგენერაციული უნარიანობის გეგმავომიერი შესწავლა.

საქართველოს სსრ მეცნიერებათა აკადემია
 ბოტანიკის ინსტიტუტი
 თბილისი

ნ. ბარათაშვილის სახელობის
 გორის სახელმწიფო პედაგოგიური ინსტიტუტი

(რედაქციას მოუვიდა 4.10.1950)

დამოწმებული ლიტერატურა

1. მევენახეობის აგროწიგები. თბილისი, 1948.
2. ვ. ქ ა ნ თ ა რ ი ა და მ. რ ა მ ი შ ვ ი ლ ი. მევენახეობის სახელმძღვანელო. თბილისი, 1948
3. Я. И. П р и н ц и П. В. И в а н о в. Корнесобственная культура европейского винограда в Молдавии. Кишинев, 1948.
4. А. И. Ц е р ц в а л д з е. Материалы к обоснованию возможности культуры на собственных корнях некоторых сортов винограда. Тбилиси, 1936.

ენტომოლოგია

ა. ჯიბლაძე

ახალი სახეობა *MYZUS CHAENOMELIS*, SP. N. (ოჯ. APHIDIDAE)
საქართველოდან

(წარმოადგინა აკადემიის ნაშეღებმა წევრმა ფ. ზაიცემა 13.2.1951)

აქარაში შეგროვებულ აფიდოლოგიურ მასალაში ჩემ მიერ აღმოჩენილია ახალი სახეობა, რომელიც ნაპოვნია იაპონურ კომშე (Chaenomeles japonica Lindl). 1949—50 წლებში ვატარებდი დაკვირვებებს ამ სახეობის ბიოლოგიის შესასწავლად.

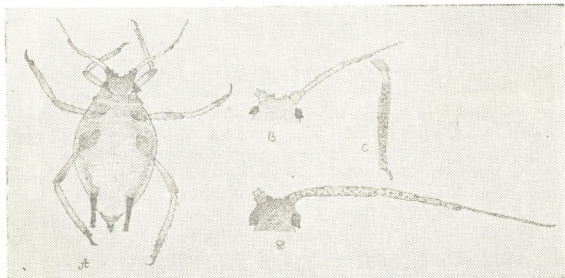
აღწერა

უფრო პატენოგენეზური დედალი. სხეულის ფორმა კვერცხისებრია. სხეულის შეფერილობა მწვანე ფერიდან მუქ მწვანემდე; თავი და მკერდი უფრო მუქია; ულვაშების I, II ნაწევარი, V ნაწევრის ბოლო და VI ნაწევრის ფუძე მუქია; საწენე მილები შავია (დამახასიათებელი განმასხვავებელი ნიშანი); კუდი მწვანეა ან მუქი. სხეული დაფარულია ცვილის თხელი ფიფქით. ანტენური ბორცვები საშუალო სიმაღლისაა, გამობურცული და ერთმანეთის პარალელურია. შუბლის ღარი ძალიან ღრმა არ არის (მისი სიღრმე ანტენათა-შორისი მანძილის $\frac{1}{4}$ — $\frac{1}{5}$ -ს შეადგენს). ანტენების სიგრძე რამოდენიმედ აღემატება სხეულის სიგრძის ნახევარს; მათი III ნაწევარი ოდნავ მოკლეა VI ნაწევრის წვეტზე და უფრო გრძელია, ვიდრე IV ნაწევარი; წვეტი 3—4-ჯერ უფრო გრძელია ამავე ნაწევრის ფუძეზე. წინა მკერდზე და მუცლის პირველ სეგმენტზე საკმაოდ მსხვილი მარგინალური ბორცვებია, ხოლო მუცლის 2—5 სეგმენტებზე ისინი უფრო წვრილია, საწენე მილები ცილინდრულია, ოდნავაა გაფართოებული ფუძეში და კრამიტისებრი სკულპტურა აქვთ; მათი სიგრძე 2 და მეტჯერ აღემატება კუდის სიგრძეს. კუდი კონუსურია და გვერდებზე 3 წვეილი ბეწვი აქვს. ხორთლში უკანა მკერდამდე აღწევს. სხეულის სიგრძე 1,38—1,97 მმ, სიგანე 0,76—1,04 მმ.

ფრთიანი პატენოგენეზური დედალი. თავი და მკერდი შავია; ულვაშები მთლიანად მუქია; მუცლის თითოეულ ნაწევარზე არის მუქი მწვანე განივი ზოლები, რომლებიც III, IV, V სეგმენტებზე ერთდებიან ერთ მთლიან ლაქად; მუცლის გვერდებზე არის მარგინალური ლაქები; საწენე მილები და კუდი მუქია (უფრო ბაცია, ვიდრე უფრო ფორმებისა) შუბლის ღარი ნაკლები სიღრმისაა უფროთა ფორმასთან შედარებით. შუბლის შუა ბორცვი კარგადაა გამოხატული, ულვაშები სხეულთან შედარებით უფრო გრძე-

ლია, ვიდრე უფროთ ფორმებში; ულვაშების III ნაწევარზე 20—27 მრგვალი რინარია, რომლებიც რამდენიმე რიგადაა განლაგებული ნაწევრის მთელ სიგრძეზე; IV ნაწევარზე 6—8 რინარია, V ნაწევარზე—1—2. საწენე მილები კუდზე 2-ჯერ გრძელია. ფრთების ძარღვიანობა ნორმალურია. სხვა ნიშანთვისებებით ისეთივეა, როგორც უფროთ პარტენოგენეზური დედალი. სხეულის სიგრძე 1,31—1,56 მმ, სიგანე 0,53—0,66 მმ.

კვერცხისმდებელი უფროთ დედალი. თავისი მორფოლოგიური ნიშანთვისებებით ახლოს დგას უფროთ ცოცხალმშობიარე დედალთან; განსხვავდება შემდეგი ნიშანთვისებებით: სხეულის შეფერილობა მუქი მწვანეა; საწენე მილები მოშავოა; ულვაშები 5-ნაწევრიანია, ამასთან მისა III ნაწევრის სიგრძე აღემატება VI ნაწევრის მთელ სიგრძეს. უკანა კიდურების წვივები მუქია; მათზე განვითარებულია რინარები, რიცხვით 35—45. სხეულის სიგრძე 1,21—1,48, მმ, სიგანე 0,66—0,81 მმ.



ნახ. 1

A—უფროთ პარტენოგენეზური დედალი; B, C—კვერცხისმდებელი დედლის თავი და უკანა წვივი; D—ფრთიანი პარტენოგენეზური დედლის თავი

ახალი სახეობა თავისი მორფოლოგიური ნიშანთვისებებით ახლოს დგას სახეობასთან *Myzus cerasi* F., რომელიც შეგროვილია ჩვენ მიერ იაპონურ ალუბალსა და ბალზე. მაგრამ *M. chaenomelis* და *M. cerasi* იდენტური არ არიან; ისინი ერთმანეთისაგან განსხვავდებიან არა მარტო მორფოლოგიურად, არამედ ბიოლოგიითაც. ეს ორი სახეობა ერთმანეთისაგან განსხვავდება შემდეგი მორფოლოგიური ნიშანთვისებებით: 1) *M. cerasi* გაცილებით უფრო დიდია, ვიდრე *M. chaenomelis*; 2) *M. Grasi*-ის უფროთ ეგზემპლარების როგორც მთელი სხეული, ისე საწენე მილები შავია, ხოლო *M. chaenomelis* საწენე მილები შავია და მკვეთრად ჩანს სხეულის მწვანე ფონზე (დამახასიათებელი განმასხვა-

ვებელი ნიშანი). 3) *M. cerasi*-ის ფრთიან ეგზემპლარებს მეორადი რინარიები აქვთ ულვაშების შოლოდ III ნაწევარზე, რიცხვით 15—20, ამასთან რინარიები განლაგებულია ერთ რიგად ნაწევრის მთელ სიგრძეზე, ხოლო *M. chaenomelis*-ს მეორადი რინარიები აქვს ულვაშების არა მარტო III ნაწევარზე, არამედ IV ნაწევარზეც და ზოგჯერ V ნაწევარზეც კი (III ნაწევარზე 20—27 რინარიაა, რომლებიც რამდენიმე რიგადაა განლაგებული, IV ნაწევარზე 6—8 რინარიაა, V ნაწევარზე—1—2).

განახომები მოცემულია შეფარდებით სიდიდეებში (ოქულარ-მიკრომეტრის დანაყოფებში). უფროსი პართენოგენეზული დედალი

მზემლა-რები	შუბლი (1)	ანტენა	საწენე მილი	კუდი	სხეული
1	2:8:4	4:3:11,5:8:6:4+13	17:2:2	8:6:3	104:55
2	2:8:4	3:2:5:13:7:5:3,5+14	16:3:2	8:5:3	92:50
3	1,5:7:3,5	4:3:11:7:4,5:3+12	16:3:1,5	7:5:2	86:42
4	1,5:7:4,5	3:3:10:6:4:3+11	15:3:2	6:5:2	73:40

ფრთიანი პართენოგენეზური დედალი

1	1:6,5:3,5	3:3:17:10:7:4+21	13:2:1	6:4:1	69:28
2	1:7:3	4:3:19:10:8:4+23	13:2:1,5	6:4:1	77:32
3	1:6:3	4:3:20:11:7:4+23	13:2:1,5	6:5:1	82:35
4	1:6:4	4:3:19:11:7:4+22	12:2:1,5	6:4:1	74:32

კვერცხისმდებელი უფროსი დედალი

1	2:7:3	3:2:15:5:3+10	13,5:3:1,5	6:5:2	78:43
2	1,5:7:3	3:2:17:4:3+11	12:3:2	5:4:1	64:35
3	1,8:7:3	3:2:16:4:4+12	13:3:1,5	6:5:1	65:35
4	1,5:7:3	3:2:17:5:4+12	13:2:1,5	5,5:4:1,5	71:37

ბიოლოგია

Myzus chaenomelis წარმოადგენს ერთ-ერთ მნიშვნელოვან მავნებელს აჭა-რაში; ის ძლიერ აზიანებს იაპონურ კომში (*Chaenomeles japonica* Lindl.). ეს უკანასკნელი სუბტროპიკული დეკორატიული მცენარეა, წარმოადგენს საკმაოდ მაღალ ბუჩქს და ყვავილობას იწყებს ადრე გაზაფხულზე; ფართოდ არის გავრცელებული აჭარის მთელ სანაპიროზე.

Myzus chaenomelis აზიანებს ამ მცენარის ფოთლებს. ტილები დიდი კოლონიების სახით განლაგებულია ფოთლის ქვემო ნხარზე. მათი წოვისაგან ფოთლებზე ჯერ მოყვითალო ფერის წერტილები ჩნდება, რომლებიც შემდგომ ერთდებთან დიდ ლაქებად. ამავე დროს ფოთლები კიდევებით ილუნება ქვემოთ და ძლიერ იხვევა. დახვეულ ფოთლებში მოთავსებული კოლონიები გარედან შეუმჩნეველია. ძლიერი დაზიანების შემთხვევაში კომშის მთელი ფოთლები ხმება და

(1) შუბლის ფორმულა შედგება: შუბლის ღარის სიდრმისაგან, ანტენური ბორცვების მწვერვალზე შორის მანძილისაგან და ანტენური ბორცვების ფუძეთა შორის მანძილისაგან.

ცივია. განსაკუთრებით ზიანდება ახალგაზრდა ნერგები, რომლებიც მთლიანად ხმება, რაც ჩვენ მიერ აღნიშნულია ბათუმში 1950 წელს.

Myzus chaenomelis გვხვდება ნხოლოდ და მხოლოდ იაპონურ კომპლექსებში, რომლებიც გაივლია მთელ თავის სასიცოცხლო ციკლს. სხვა ხეზე ან ბალახეულ მცენარეებზე ჩვენ მიერ ნახული არაა, მიუხედავად გულმოდგინე ძებნისა. ამგვარად, ეს სახეობა არ ახდენს მიგრაციას.

ზამთრობს კვერცხების სახით, რომლებიც იდება კომპლექსების ტოტებზე. მარტის ბოლო რიცხვებში კვერცხებიდან იჩეკებიან ფუძემდებლები, რომლებიც დასაბამს აძლევენ მთელ რიგ პართენოგენეზურ თაობებს. აპრილში უკვე ჩნდება მრავალრიცხოვანი კოლონიები, რომლებიც შედგება უფრო პართენოგენეზური დედლებისაგან და სხვადასხვა ხნოვანების მატლებისაგან. ფრთიანი ფორმები, რომელთა საშუალებით ხდება ამ მანებლის გავრცელება სხვა ბუჩქებზე, ჩნდება კოლონიებში აპრილის ბოლო რიცხვებში.

მთელი სეზონის განმავლობაში წარმოებს პართენოგენეზური გამრავლება. როგორც ჩვენი დაკვირვებებიდან გამომიკვია, ცოცხალმშობიარე დედალი ცოცხლობს 35—45 დღეს და საშუალოდ მთელი თავისი სიცოცხლის განმავლობაში ბადებს 70—100 მატს.

მატლები კანს იცვლიან 3-ჯერ და განვითარებას ამთავრებენ 6—10 დღეში. მატლის სტადიის ხანგრძლიობა მუდმივი არაა, არამედ იცვლება წელიწადის სხვადასხვა სეზონში. ზაფხულში მატლი განვითარებას ამთავრებს 6—7 დღეში, ვაზაფხულზე (აპრილი, მაისი) და შემოდგომაზე (სექტემბერი, ოქტომბერი) კი მათი განვითარებისთვის საჭიროა 9—10 დღე, ხოლო ნოემბერში 13—14 დღე.

ვინაიდან მატლები განვითარებას ადრე ამთავრებენ, ამიტომ ეს სახეობა აპრილიდან ნოემბრის ბოლომდე იძლევა მრავალ თაობას. ლაბორატორიულ პირობებში 1949 წლის 5 სექტემბრიდან ნოემბრის ბოლომდე ჩვენ მიერ აღნიშნულია 7 გენერაცია, ხოლო 1950 წლის 18 აპრილიდან ამავე წლის ივლისის ბოლომდე აღნიშნულია 12 გენერაცია, ე. ი. სულ ამ ხნის განმავლობაში ჩვენ მიერ აღნიშნულია 19 გენერაცია. თუ მხედველობაში მივიღებთ იმ გარემობას, რომ გენერაციების რიცხვზე დაკვირვებანი ჩემ მიერ არ იყო ჩატარებული აპრილის შუა რიცხვებამდე და აგვისტოში, შეიძლება ვივარაუდოთ, რომ *M. chaenomelis* მთელი წლის განმავლობაში 20-ზე მეტ გენერაციას იძლევა.

ლაბორატორიულ პირობებში ჩემ მიერ მიღებულ თაობათა რიცხვი დაახლოებით ემთხვევა თაობათა რიცხვს ბუნებრივ პირობებში.

ზაფხულში (ივლისი, აგვისტო) ტილების კოლონიები იაპონურ კომპლექსებში მცირე რაოდენობა, რაც გამოწვეულია მტაცებლისა და პარაზიტების მოქმედებით. მტაცებლებიდან ჩემ მიერ აღნიშნულია შემდეგი: ოქროსთვალას (*Chrysopa perla* L.) მატლები, ქიამაიების 2 სახეობის (*Adonia 2-punctata* L. ან *6-pustulata* L. და *Caccinella 7-punctata* L.) მატლები და ზრდასრული ფორმები. აღნიშნული მტაცებლებიდან ტილებს ყველაზე მეტად ანადგურებდნენ ოქროსთვა-



ლას მატლები, რომლებიც თავიანთი ძლიერი ყბებით იპერდნენ ტილებს და სწოვდნენ მთლიანად ისე, რომ მათგან მხოლოდ კანი რჩებოდა.

შემოდგომით (სექტემბრიდან) კოლონიების რიცხვი იაბონურ კომში მატულობდა. ნოემბრის მეორე ნახევარში კოლონიებში დიდი რაოდენობით გაჩნდნენ კვერცხისმდებელი დედლები, რომლებიც დებდნენ მოზამთრე კვერცხებს.

გამოურკვეველია, განაყოფიერებულია თუ არა მოზამთრე კვერცხი, ვინაიდან მამლები მე არ შემეხვედრია.

შესაძლებელია, რომ ეს სახეობა შემოტანილია აჭარაში მის საკვებ მცენარესთან ერთად.



ნახ. 2. *Myzus chaenomelis*-საგან დაზიანებული იაბონური კომშის ტოტი

იაბონური კომში აჭარის გარდა გავრცელებულია შავი ზღვის სანაპიროს სხვა რაიონებშიც, მაგრამ ამ რაიონებში გამოკვლევა ვერ ჩავატარეთ.

გარდა *M. chaenomelis*-ისა, იაპონურ კომუს აზიანებენ ტილების სხვა სახეობანიც, როგორცაა, მაგალ., *Aphis pomi* Degeer (რომელიც ვაშლიდან გადმოდის) და *Aphis fabae* Scop., მაგრამ ამ ორი სახეობის მიერ მიყენებული ზარალი უმნიშვნელოა.

საქართველოს სსრ მეცნიერებათა აკადემია
 ბოლოლოგის ინსტიტუტი
 თბილისი

(რედაქციას მოუვიდა 13.2.1951)

დამოწმებული ლიტერატურა

1. А. К. Мордвилько. *Aphidodea*—Тли или растительные вши—в „Определителе насекомых Европейской части СССР“. М.—Л., 1948, стр. 215.
2. А. Вайшowsky. Les insectes nuisibles aux plantes cultivées. Paris, 1936, p. 341—343.

ანატომია

ლ. ნათაძე

რეპტილიების ხრტილოვანი ჩონჩხის განვითარების
სინჰრონულობის შესახებ

(წარმოდგინა აკადემიის ნამდვილმა წევრმა ა. ნათიშვილმა 15.7.1950)

კუდიანი ამფიბიების ხრტილოვანი ჩონჩხისა და, კერძოდ, ქალას განვითარების შესწავლისას ჩვენ მიერ ზოგი ჰეტეროქრონიის არსებობა იქნა დადგენილი და აღნიშნულ იქნა მთელი ხრტილოვანი ჩონჩხის განვითარების მნიშვნელოვანი ასინქრონულობა [2]. მიღებული შედეგების ანალიზის საფუძველზე ჩვენ დავასკვნით ჩონჩხის ელემენტთა ჩანერგვის დროისა და განვითარების სისწრაფის დამოკიდებულება ფუნქციონირების დაწყების დროისა და, შესაბამისად, განვითარების პირობათაგან.

ჩვენი დასკვნის დასაბუთებისთვის აუცილებელი იყო ჩაგვეტარებინა ანალოგიური დაკვირვება ხერხემლიანთა სხვა რომელიმე ისეთი ჯგუფის ჩონჩხისა და, კერძოდ, ქალას განვითარებაზე, რომელიც თავისი განვითარების პირობებით მკვეთრად განსხვავდება ამფიბიებისაგან. ამ თვალსაზრისით განსაკუთრებით საინტერესოა რეპტილიები, რომელნიც, წინააღმდეგ ამფიბიებისა, უაღრესად ხანგრძლივი ემბრიონული პერიოდითა და ლარვული პერიოდის სრული უქონლობით ხასიათდებიან.¹

ჩვენ ვვარაუდობდით, რომ, რაკი რეპტილიები თავისი განვითარების პირობებით ესოდნ მკვეთრად განსხვავდებიან ამფიბიებისაგან, ამ ორი ჯგუფის ჩონჩხის განვითარებაც ფრიალ მკაფიოდ უნდა ყოფილიყო განსხვავებული.

ჩვენ ხელთ გვქონდა შემდეგი მასალა:

გეკონის (*Tarentola mauritanica*) ემბრიონები—

I (1,82 მმ.), II (2,54 მმ.); III (?), IV (3,27 მმ.), V (?), VI (?), VII (?),

VIII (?);

სეფსის (*Chalcides tridactylus*) ემბრიონები—

I (1,86 მმ.), II (2,6 მმ.), III (2,86 მმ.), IV (4,5 მმ.);

ხელიკის (*Lacerta sp.*) ემბრიონები—

I (1,22 მმ.), II (?), III (3,34 მმ.), IV (4,25 მმ.), V (5,5 მმ.)¹,

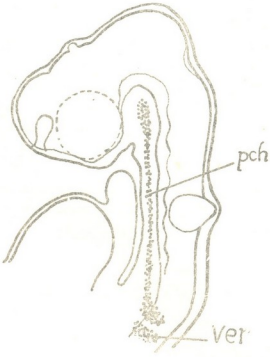
¹ მასალა მიღებული იყო პროფ. ბ. მატვეევისაგან მოსკოვის საბ. უნივერსიტეტის ხერხემლიანთა ზოოლოგიისა და შედარებითი ანატომიის კათედრის კოლექციებიდან, ნაწილობრივ კი გამოყენებულ იქნა მზა პრეპარატები აკად. ა. სევერცოვისა და პროფ. ს. ემელიანოვის კოლექციებიდან. გამოყენებულ მზა პრეპარატებზე ზომები აღნიშნული არ იყო, რის გამოც პირობითი ნუმერაციის შემოღება მოგვიხდა, დანარჩენ შემთხვევებში კი იზომებოდა თავის სიგრძე დინგის ბოლოდან თხემის ბორცვამდე.

მასალის დამუშავება შედარებითი ემბრიოლოგიური გამოკვლევებისათვის ჩვეულებრივი გზით წარმოებდა. ჩახატვას აბეს სახატავე აპარატისა და ედინგერის სახატავე საპროექციო აპარატის დახმარებით ვახდენდით.

ჩვენმა მასალამ გვაჩვენა, რომ რეპტილიების ჩვენ მიერ შესწავლილი სამივე წარმომადგენლის ხრტილოვანი ჩონჩხის განვითარება ძირითადად მსგავსად მიმდინარეობს.

ქალას ყველა ელემენტზე აღრე პარაქორდალიები (*pch*) ინერგება. ხელიკის განვითარების I სტადიაზე (სურ. 1) ისინი უკვე ნაზი მეზენქიმოვანი ფირფიტითაა წარმოდგენილი. ვისცერალური ჩონჩხისა და ტრაბეკულების ნერგი კი ჯერ კიდევ არაა. მალე ჩნდება ყბის ჩონჩხის ნერგიც; ტრაბეკულები სულ ბოლოს ინერგება: გეკონის განვითარების II სტადიაზე (სურ. 2) ტრაბეკულები ჯერ კიდევ არ ჩანრგოლა, ყბის ჩონჩხის ნერგი კი უკვე ნათლადაა გამოსახული (*md*). დაახლოებით ასევეა სეფსის განვითარების I სტადიაზე.

ქალას ელემენტების ნერგების შემდგომი დიფერენცირება თანაბრად მიმდინარეობს და მათი გახრტილების თანამიმდევრობა შეესაბამება ჩანერგვის თანამიმდევრობას.



სურ. 1. ხელიკი, I (1,22 მმ); თავის ორგანოთა სქემატიზებული რეკონსტრუქცია საციტალური კრილების მიხედვით. *pch*-პარაქორდალიების ნერგი, *ver*-მაღის ნერგი

ყებს. გეკონის V სტადიაზე, სეფსის II სტადიაზე და ხელიკის II სტადიაზე მალეებისა და კიდურთა ჩონჩხის ელემენტთა ნერგები უკვე შეიცავს ახალგაზრდა ხრტილს, ქალას ელემენტების ნერგები კი ჯერ ისევ მკვრივმეზენქიმოვანია.

ინტერვალები ქალას ცალკეული ელემენტების ჩანერგვის დროს შორის და აგრეთვე ქალასა და მალეების და ორივე წყვილი კიდურის ჩანერგვის

თანამიმდევრობას. ასე, სეფსის განვითარების II სტადიაზე (სურ. 3) პარაქორდალიები (ძირითადი ფირფიტა) უკვე გახრტილებულია, ყბის ჩონჩხი ესეა იწყებს გახრტილებას, ტრაბეკულების ნერგი კი (*tr*) ჯერ კიდევ მკვრივი მეზენქიმისაგან შედგება. ასევეა გეკონის V სტ. და ხელიკის II სტ.

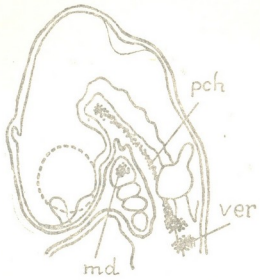
ამრიგად, ჩვენ მიერ შესწავლილ ხელიკისებრ რეპტილებს შერჩენიათ ხრტილოვანი ქალას ჩანერგვისა და გახრტილების თანამიმდევრობა, რომელიც ტიპობრივია ყბიანი ხერხემლიანებისათვის [2].

იმ სტადიებზე, როდესაც ქალას ელემენტები ეს-ესაა იწყებს ჩანერგვას, უკვე არსებობს მალეების ელემენტთა და კიდურთა ჩონჩხის მეზენქიმოვანი ნერგები (ხელიკი, სტადია I; გეკონი, სტადია I; სეფსი, სტადია I). მალეები და კიდურთა ჩონჩხი გახრტილებასაც ქალას ელემენტებზე ოდნე უფრო აღრე იწყებს.

დროს შორის ფრიად უმნიშვნელოა. გახრტილებაც ასეთივე უმნიშვნელო ინტერვალებით ხდება. ამრიგად, შეიძლება ვილაპარაკოთ რეპტილიების მთელი ხრტილოვანი ჩონჩხის განვითარების ფარდობითი სინქრონულობის შესახებ.

ჩვენი მონაცემების ლიტერატურულ ცნობებთან შედარებამ დაგვანახა, რომ რეპტილიების ყველა გამოკვლეულ წარმომადგენელს [3, 4, 5, 7] ქალასა და აგრეთვე მთელი ხრტილოვანი ჩონჩხის ელემენტთა ჩანერგვისა და გახრტილების ისეთივე თანამიმდევრობა ახასიათებს, როგორც გეკონს, სეფსსა და ხელიკსა აქვს⁽¹⁾.

რეპტილიების კვერცხი უაღრესად მდიდარია ყვითრით და მათ მეტად ხანგრძლივი ემბრიონული პერიოდი და, ამავე დროს, ლარვეული პერიოდის სრული უქონლობა ახასიათებს. ისინი მეტად გვიან იჩეკებიან და აქტიურ დამოუკიდებელ ცხოვრებას, კერძოდ, აქტიურ დამოუკიდებელ კვებას, უაღრესად გვიან იწყებენ. მთელი ჩონჩხი ფუნქციონირებას ერთდროულად — გამოჩეკის შემდეგ — იწყებს, რის გამოც ჩონჩხის ამა თუ იმ ნაწილის სხვაზე ადრე განვითარებაც არაა აუცილებელი. სწორედ ამით აიხსნება რეპტილიების ჩონჩხის განვითარების სინქრონულობა.



სურ. 2. გეკონი, I (1,82 მმ); თავის ორგანოთა სქემატიზებული რეკონსტრუქცია საციტალური საკვების აქტიურ მოპოვებაზე გვიანი ანათლების მიხედვით. *pch*—პარაქორდალიების გადასვლა და აქედან გამომდინარე არ-ნერგი, *md*—უბის ჩონჩხის ნერგი, *ver*—მალის ნერგი

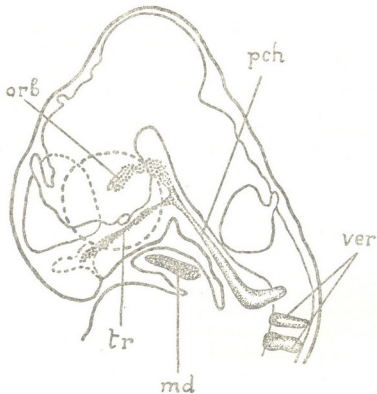
გვიანი გამოჩეკა და, შესაბამისად, სქემატიზებული რეკონსტრუქცია საციტალური საკვების აქტიურ მოპოვებაზე გვიანი ანათლების მიხედვით. *pch*—პარაქორდალიების გადასვლა და აქედან გამომდინარე არ-ნერგი, *md*—უბის ჩონჩხის ნერგი, *ver*—მალის ნერგი

რების აუცილებლობისა, განაპირობებს ამფიბიებისათვის დამახასიათებელი ჰეტეროქრონული ძვრების [2] არარსებობასა და რეპტილიების ქალას ელემენტების ჩანერგვასა და გახრტილებას ყბიანი ხერხემლიანებისათვის ტიპობრივი თანამიმდევრობით.

რეპტილიების ხრტილოვანი ჩონჩხისა და, კერძოდ, ქალას განვითარების ხასიათის ჩვენ მიერ მოცემულ ახსნას ისიც ადასტურებს, რომ ფრინველებს, რომელნიც თავისი განვითარების პირობებით ძალიან გვიან რეპტილიებს, და ძუძუმწოვრებს, რომელნიც დედის ორგანიზმში ვითარდებიან, ხრტილოვანი ჩონჩხი და, კერძოდ, ქალა რეპტილიების მსგავსად უვითარდება. ვარდა ამისა, ზეიგენებთან, რომელთა კვერცხი ფრიად მდიდარია ყვითრით

⁽¹⁾ ლე ბირის [6] ცნობა იმის თაობაზე, რომ *Lacerta*-ს ვისცერალური ქალა ნეირალურზე ადრე ვითარდება, არ შეესაბამება მისსავე მონაცემებს და არ დასტურდება ფაქტობრივი მასალით.

და რომელთა განვითარების ტიპი ბევრითა ჰგავს ამნიონიანებისას, სხვაობა ქალასა და ხერხემლის განვითარების დროში, უამნიონოთა უმრავლესობისაგან განსხვავებით, ღიდი არაა [1].



სურ. 3. სეფსი, II (2,6 მმ); თავის ორგანოების სქემატიზებული რეკონსტრუქცია საგიტალური ანათლების მიხედვით. *pch*—ხრტილოვანი პარაკორდალური ფირფიტა, *ver*—მალების ხრტილოვანი რკალეები, *md*—ყბის ჩონჩხის ნერგი, რომელიც გახრტილებას იწყებს, *tr*—მეზენქიმოვანი ტრაბეკულები, *orb*—მეზენქიმოვანი ორბიტალები

ყოველივე ზემოთქმული კიდევ ერთხელ ადასტურებს იმ თვალსაზრისს, რომ ორგანოთა ჩანერგვის დრო და განვითარების სისწრაფე დამოკიდებულია შათი ფუნქციონირების დაწყების დროზე და, ამრიგად, გვაჩვენებს განვითარებაში გარემოს პირობათა წამყვან მნიშვნელობას.

სტალინის სახელობის
თბილისის სახელმწიფო უნივერსიტეტი

(რედაქციას მოუვიდა 15.7.1950)

დამოწმებული ლიტერატურა

1. Б. С. Матвеев. Строение эмбрионального осевого черепа низших рыб. Бюлл. Моск. о-ва исп. прир., т. 34, 1925.
- 2 ლ. ნათაძე. ჰეტეროქრონიების შესახებ კუდიანი ამფიბიების სრტილოვანი ქალას განვითარებაში. საქ. სსრ მეცნ. აკად. შოამბე, ტ. XI, № 10, 1950.
3. А. Н. Сергеев. Zur Entwicklungsgeschichte von *Ascalabotes fascicularis*. Anat. Anz. Bd XVIII, H. 1., 1900.
4. О. В. Чеқановская. Развитие черепа ужа (*Tropidonotus natrix*). Арх. анат., гист. и эмбр., т. XV, № 3, 1936.
5. K. Bäckström. Reconstructionsbilder zur Ontogenie des Kopfskeletts von *Tropidonotus natrix*. Acta Zool, v. XII, 1931.
6. G. R. de Beer. The development of the vertebrate skull. Oxford, 1937.
7. K. Peter. Normentafel zur Entwicklungsgeschichte der Zauneidechse. Keibel's Normen-tafeln, H. 4, 1904.

რ. ნათაძე

ხელის ფაქტორის როლისათვის სივრცის მარჯვენა-მარცხენა მიმართულებათა უშუალო აღქმავში

(წარმოდგინა აკადემიის ნამდვილმა წევრმა გ. ჩუბინაშვილმა 25.11.1950)

ცდების ჩატარების შედეგად ჩვენ დავასკვნით ხელის ფაქტორის წამყვანი როლის შესახებ ადამიანის მარჯვენა-მარცხენა მიმართულებით უშუალო ორიენტაციის შემთხვევაში [1], მაგრამ ყველა ცდაში სუბიექტის მარჯვენა-მარცხენა მიმართულებით ორიენტაციის ფიქსაცია ხდებოდა ჰაპტური აღქმის სფეროში, ე. ი. ხელების მეოხებით, რამაც შეიძლება გამოიწვიოს ეჭვი—ცენტრალური ხასიათისა თუ არა მიღებული ილუზიები და ვარაუდი, რომ ხელის ფაქტორის წამყვანი როლი აიხსნება იმ გარემოებით, რომ სივრცეში ორიენტაციის ფიქსაციის ცდები ხელების მეოხებით ხდებოდა.

საკითხის გამოსარკვევად ცდა ისე უნდა იყოს დაყენებული, რომ მარჯვენა-მარცხენა მიმართულებაში ორიენტაცია და მისი ფიქსაცია ხდებოდეს ხელების ფაქტორისა და საზოგადოდ ჰაპტური აღქმის სრული გამოორიცხვით, ხოლო კრიტიკულ ცდაში ხელის ფაქტორი უნდა დაუპირისპირდეს მხარის (სხეულის მედიანის) ფაქტორს. ჩვენ ჩავატარეთ ცდების ორი ახალი ვარიანტი (მეორე სერია).

პირველი ცდა (მეთოდის მესამე ვარიანტი).

1. საგანწყობო ცდაში ექსპერიმენტატორი უჩვენებს ცდისპირს შესაღარებლად ორ ხის ბურთს (დიდსა და პატარას), რომლებსაც, რაც შეუძლია მოკლე ექსპოზიციით, ერთდროულად ასწევს მაგიდის ზევით და ისევ დამალავს მაგიდის ქვეშ. ცხადია, ამ ბურთების ექსპოზიცია ტაქსტოსკოპურზე უფრო ხანგრძლივი გამოდის, მაგრამ მაინც საკმაოდ სწრაფია: ბურთებს აქვს ხის ტარები, რაც გვაძლევს მათი ძალიან სწრაფი ჩვენებისა და დამალვის შესაძლებლობას.

ამრიგად, საგანწყობო აღქმა ოპტიკური მოდალობის სფეროში მიმდინარეობს. 15 ასეთი საგანწყობო ექსპოზიციის შემდეგ ცდისპირს ევალება თვლების დახუჭვა და გადაჯვარედინებული ხელებით ექსპერიმენტატორის მიერ მიწოდებული კრიტიკული ბურთების (ცხადია, ტოლების) ჰაპტური შედარება.

ცდა ჩატარებული გვექონდა სხვადასხვა დროს 223 ცდისპირზე, ნაწილზე 1947 წ. [2], ნაწილზე 1950 წ. ხაზგასასმელია, რომ, როგორც ეს ცდისპირების დიდი უმრავლესობის გამოკითხვიდან გამოირკვა, ცდისპირებს საგანწყობო ცდაში ფიქრალად არ მოსვლიათ, რომ მათ რაიმე მანიპულაციებს მო-

სთხოვდნენ ხელებით; მხოლოდ ერთმა ცდისპირმა აღნიშნა — მეგონა, რომ ბურთებს ხელში მომცემდნენო.

ამრიგად, საგანწყობო ცდაში ცდისპირს უფიქსირდება მარჯვენა-მარცხენა მიმართულების განწყობა ოპტიკური აღქმის არეში, ხოლო კრიტიკულ ცდაში შესაძარბელო ობიექტების აღქმა ხდება გადაჯვარედინებული ხელებით და, მაშასადამე, ხელის ფაქტორი ისევე უპირისპირდება მხარის (მედიანის) ფაქტორს, წინა ცდასთან იმ განსხვავებით, რომ ახლა ხელი არავითარ მონაწილეობას არ ღებულობს საგანწყობო აღქმაში.

ცდის შედეგები მოყვანილია მე-3 ცხრილში.

დეზორიენტაციის მოვლენა. ცხრილის განხილვამდე არ შეიძლება არ აღინიშნოს ისევე მეტად ძლიერი დეზორიენტაციის ფაქტი, რომელიც ამ ცდაში კიდევ უფრო ცხადად ვლინდება, ვიდრე წინა ცდაში. პირველ მომენტებში აშკარა შეფერხებას ყველა ცდისპირი იძლევა, ვისთანაც კი იჩენს თავს განწყობისეული ილუზია; ეს შეფერხება ეხება მიმართულებას: ცდისპირები აშკარად გრძნობენ, რომ ერთ-ერთი ბურთი უფრო დიდია, მაგრამ ვერ ამბობენ ხოლმე, სახელდობრ რომელია დიდი — მარჯვენა თუ მარცხენა, ხელით გვანიშნებენ, რომ „ესაა“ უფრო დიდი. ცდისპირების დიდი ნაწილი თავდაპირველად ამასაც ვერ ახერხებს — ერთ-ერთი დიდია, მაგრამ რომელი — არ იციან და თითქოს სინჯავენ — მორიგეობით ამოძრავებენ თვითვე ხელს ბურთით, რომ გამოარკვიონ, რომელ ხელშია უფრო დიდი ბურთი. პირველ ცდაში ზოგიერთი ცდისპირი ვერ ახერხებს ამ დეზორიენტაციიდან ამოსვლას, სანამ ილუზია გაქრებოდეს და ორივე ბურთი ტოლად აღიქმებოდეს. ამ ცდისპირებთან მხოლოდ ცდის გამეორებისას მოხერხდა საბოლოო გარკვევა, თუ რომელ ხელში ან რომელ მხარეს ეჩვენებოდათ მათ ბურთი უფრო დიდად. უნდა ითქვას, რომ ზოგიერთ ცდისპირთან ეს შეფერხება დეზორიენტაციის გამო პირდაპირ უცნაურ შთაბეჭდილებას სტოვებს მყურებელზე.

ცდის მიმდინარეობაში დადასტურდა რამდენიმე შემთხვევა, როდესაც ცდისპირი სიტყვიერად აღნიშნავდა სხვა მიმართულებას, ვიდრე თვითონ გულისხმობდა, მაგ., თვითონ ამბობს მარცხენა მხარეს დიდიაო, ხოლო ცდის შემდეგ ან ცდის მიმდინარეობაში უცხად დაიძახებს „შემეშალა, უნდა მეთქვა, რომ მარჯვენა (resp. მარცხენა, რ. ნ.) მხარეს დიდია, რადგანაც დიდის იყო, რომელიც ამ ხელში (მარჯვენა ხელში, რ. ნ.) მექარა“.

ამ ძლიერი დეზორიენტაციის ფაქტი მეტად დემონსტრატიულად მიგვითითებს ისევე ხელის ფაქტორის მეტად დიდ როლზე მარჯვენა-მარცხენა მიმართულების აღქმაში. როდესაც ცდისპირი შესატყვისი ხელით აღიქვამს მარჯვენა ან მარცხენა ბურთს როგორც დიდს, არავითარ სიძნელეს ამ ბურთის მიმართულების დასახელებაში და საზოგადოდ არავითარ დეზორიენტაციას სივრცის მიმართულებებში ადგილი არა აქვს (იხ. ქვემოთ ცდის მეოთხე ვარიანტის შედეგები), მაგრამ საკმარისია აღაშინა მარცხენა ხელით აღიქვას მარჯვნივ მოთავსებული საგანი და მარჯვენა ხელით მარცხნივ მოთავ-

სებულო, რომ მას, პირველ მომენტში მაინც, დაეკარგოს ორიენტაცია ამ მიმართულებებში. მაშასადამე, ხელი საკმაოდ ძლიერად წარმო-
მადგენლობს სუბიექტისათვის სივრცის სათანადო მიმარ-
თულებას.

ცხრილი 1

პირველი გესპერიმენტის რიცხობრივი მონაცემები

	აღმე. აღქმა	ბუნებრივი ასი- მეტოია	დესორიენტაცია ბოლომდე	ჯერ დესორიენ- ტაცია, შემდეგ მ- ლის მიხედვით კონტრასტულუზ.	ხელის მიხედ- ვით კონტრას- ტული ილუზია	ხელის მიხედ- ვით ასიმეტრი- ური ილუზია	მხარის მიხედ- ვით კონტრას- ტული ილუზია	სულ ილუზია ხელის მიმართ	სულ ცდისპირ- თა რაოდენობა
ცდისპირთა რაოდენობა	21	24	9	36	114	4 ⁽¹⁾	15	154	223
პროცენტობით	9,4	10,8	4,0	16,1	51,2	1,8	6,7	69,2	100

პირველ რიგში აღსანიშნავია, რომ, როგორც ეს მოსალოდნელი იყო, რამდენადაც ამ ცდაში ილუზიის ტრანსპოზიცია სხვა მოდალობაზე ხდება, ილუზიათა პროცენტმა დაიკლო, სახელდობრ, ცდისპირების 9,4⁰/₁₀₀ კრიტიკულ ცდაში იძლევა ადეკვატურ აღქმას. ამას გარდა, ცდისპირების 10,8⁰/₁₀₀ გამო-
ამჟღავნა მათთვის ბუნებრივი ასიმეტრიის ილუზია სიდიდეთა გადაფასებაში ერთ-ერთი მიმართულებით (როგორც ჩანს, წინა ცდებში ილუზია იმდენად ძლიერი იყო, რომ ფარავდა ამ ბუნებრივ ასიმეტრიას). ცხადია, რომ ცდის-
პირების ეს 10,8⁰/₁₀₀-ც უნდა მიეკუთვნოს განწყობისეული ილუზიის უქონლობის შემთხვევებს. რაც შეეხება მესამე რუბრიკას, აქ მოხვდნენ ის პირები, რომელ-
ნიც თუმცა ამჟღავნებდნენ ილუზიას (უნდა ვიგულისხმოთ—განწყობისეულს), მაგრამ ისეთს დესორიენტაციას იჩენდნენ ამ ილუზიის სივრცითს მიმართუ-
ლებაში, რომ უშუძლებელი გახდა გამორკვევა, რომელ მხარეს ან რომელ ხელში ეჩვენებოდათ მათ ბურთი უფრო დიდად ან პატარად. ამიტომ ცდისპირის ეს 4⁰/₁₀₀-იც უნდა გამოვაკლოთ გარკვეულ განწყობისეულ ილუ-
ზიათა საერთო რაოდენობას, მაშასადამე, გარკვეულ განწყობისეულ ილუზიათა პროცენტი შეადგენს სულ 75,6⁰/₁₀₀-ს, ე. ი. 223 პირიდან ვლინდება მხოლოდ 169 ცდისპირთან. ამ 169 ცდისპირიდან 150-თან დადასტურდა კონტრასტული ილუზია ხელის მიხედვით, რაც შეადგენს გარკვეულ განწყობისეულ ილუზია-
თა 169 შემთხვევიდან 88,8⁰/₁₀₀-ს.

ოთხ ცდისპირთან დადასტურებული ასიმეტრიული ილუზია ხელის მი-
მართ არ უნდა მიეკუთვნოს მხარის მიხედვით კონტრასტულ ილუზიას, რად-
განაც ამ ოთხ ცდისპირს სხვა ცდაშიც, სადაც ხელის ფაქტორი არ უპირის-
პირდება, არამედ ემთხვევა მხარის ფაქტორს, დაუდასტურდა მაინც ასიმეტრი-

⁽¹⁾ ამ რუბრიკაში შეტანილია მხოლოდ იმ ოთხი პირის პასუხი, რომლებზედაც ასიმეტრიული ილუზია დადასტურდა ცდაში, სადაც ხელი არ ყოფილა დაპირისპირებული მხარესთან.

ციური ილუზია, ე. ი., როგორც ჩანს, ამ ოთხი ცდისპირისათვის დამახასიათებელი ყოფილა საზოგადოდ ასიმილაციური ილუზია. თუ ამ 4 ცდისპირის ილუზიებსაც მივუმატებთ საზოგადოდ ხელის მიხედვით მიღებულ ილუზიათა რიცხვს, ამ უკანასკნელი კატეგორიის შემთხვევათა პროცენტი გაიზრდება 91,1%-მდის (გარკვეულ ილუზიათა შემთხვევების მიმართ).

დაბოლოს, მხარის მიხედვით კონტრასტულ ილუზიათა რაოდენობა შეადგენს 15-ს, რაც გარკვეულ ილუზიათა მთელი რაოდენობიდან (169) 8,88%-ს შეადგენს.

ამრიგად, მოცემული ცხრილიდანაც სავსებით ცხადია ისევე ხელის ფაქტორის სრული დომინირება მხარის ფაქტორზე იმ შემთხვევაშიც, როდესაც მხარის მიმართ განწყობა ფიქსირდებოდა ხელის ფაქტორის გარეშე—წმინდა ოპტიკურ არეში.

რაც შეეხება იმ 15 შემთხვევას (8,88%-ს), რომელშიაც თავი იჩინა კონტრასტულმა ილუზიამ მხარის მიმართ, სიფრთხილე მოითხოვს აღვნიშნოთ, რომ ამ ოდენობის ნაწილიც უძველად ცდისპირის დეზორიენტაციის შედეგია. ცდისპირი სიტყვიერად აღნიშნავს ერთს მიმართულებას, სინამდვილეში კი მეორე მიმართულებას განიცდის.

ამგვარად, მესამე ცდის შედეგება აბათილებს ზემოთ აღნიშნულ ექვს პირველ ორ ცდაში ხელის ლოკალური შთაბეჭდილების მნიშვნელობის შესახებ: ხელის ფაქტორის როლი წამყვანია მაშინაც, როდესაც ცდისპირებს სივრცის მიმართულების განწყობა შეუშუშავდათ ხელის მონაწილეობის გარეშე ოპტიკურ აღქმათა არეში.

მეორე ცდა (მეთოდის მეოთხე ვარიანტი).

იმისთვის, რომ ხელის ფაქტორის მხარის ფაქტორთან დაპირისპირების ეფექტი უფრო თვალსაჩინო იყოს, ვაყენებთ სპეციალურ ცდას, ანალოგიურს ამას წინათ განხილულ ცდასთან, იმ განსხვავებით, რომ კრიტიკულ ცდაში ხელის ფაქტორი აღარ უპირისპირდება მხარის ფაქტორს, ე. ი. ბურთების მოსინჯვა კრიტიკულ ცდაში პარალელურად გაწეული ხელებით ხდება, საგანწყობო ცდებში კი განსხვავებული ბურთები ისევე ოპტიკურად ეძლევა ცდისპირს, როგორც წინა ცდაში.

ამ ცდის შედეგები მოცემულია მე-2 ცხრილში.

ცხრილი 2

	ადეკვატური აღქმა	ბუნებრივი ასიმეტრია	კონტრასტ. ილუზია	ასიმილაც. ილუზია	სულ ცდისპირთა რაოდენობა
ცდისპირთა რაოდენობა პროცენტობით	3	I	55	I	60
	5	I,7	91,6	1,7	100

ცხრილის მონაცემებიდან ყურადღებას იქცევს შემდეგი:

1. განწყობისეულ ილუზიათა რაოდენობა ამ ცდაში მეტია, ვიდრე წინა ცდაში (გადაჯვარდინებული ხელებით). ცხადია, ხელების გადაჯვარდინება ასუსტებს ილუზიას.

2. აღნიშნულ შედეგს ადასტურებს ცდისპირების სუბიექტური ჩვენებები. ამ ცდაში სიდიდის განსხვავების ილუზია ბევრად უფრო მკვეთრია, ვიდრე წინა ცდაში: წინა ცდაში ცდისპირები ხშირად ლაპარაკობენ კრიტიკულ ცდაში „ოღნავე“ ან „ოღნავე შესამჩნევე“ განსხვავების შესახებ, მეოთხე ცდაში კი ხაზს უსვამენ, რომ განსხვავება ბევრად მეტია, ვიდრე წინა ცდაში იყო.

3. ასიმილაციური ილუზიათა პროცენტი მცირეა; როგორც წესი, ილუზია კონტრასტის სახით იჩენს თავს, რაც კიდევ ერთხელ ამართლებს ჩვენს მეთოდს, სახელდობრ: კონტრასტული ილუზიის მიმართულების ფიქსირებული განწყობის სათანადო მიმართულების კრიტერიუმად აღვსა.

4. ცდის როგორც მეოთხე, ისე მესამე ვარიანტში განსაკუთრებით ყურადღებას იქცევს ილუზიის ტრანსპოზიციის მეტად დიდი პროცენტი: ხელების გადაჯგუფდინების შემთხვევაში ოპტიკურ არეში შექმნილი განწყობის საფუძველზე სხვა მოდალობაში (ჰაპტურ არეში) გარკვეულმა ილუზიამ იჩინა თავი 75,6%-ის შემთხვევაში და თუ ამას დაეუმატებთ დეზორიენტაციის შემთხვევებს, მაშინ 90%-ის, უკანასკნელ ცდაში კი 93,3%-ის შემთხვევაში. ამ ფაქტს აღვნიშნავთ, რადგანაც იგი მეტად განსხვავდება განწყობის ირადიაციის სპეციალურ გამოკვლევებში მოცემული ილუზიის ტრანსპოზიციის რიცხვებისაგან¹. შესაძლებელია ილუზიის ტრანსპოზიციას ჩვენს ცდაში ხელს უწყობს ის გარემოება, რომ ორივე მოდალობაში ცდისპირს ეძლევა რეალური ხის ბურთები (ჩვეულებრივ ტრანსპოზიციას იკვლევენ წრეების აღქმიდან რეალურ ბურთებზე).

საკონტროლო ცდა

1. იმისთვის, რომ ჩვენს ცდაში მოცემული ტრანსპოზიციის ფაქტორის გავლენა ცდის შედეგზე შედარებით თვალსაჩინოდ გამოჩნდეს, დავაყენეთ შემდეგი საკონტროლო ცდა 21 ცდისპირზე: საგანწყობო ცდები ტარდება ზუსტად ისე, ოპტიკურ არეში, როგორც წინა ცდაში, ოღონდ კრიტიკული ცდა ტარდება ისევე ოპტიკურ არეში (ტრანსპოზიციის გარეშე), ისევე ხის ბურთების მიწოდებით. ამ ცდის შედეგები მოცემული გვაქვს მე-3 ცხრილში.

	საკონტროლო ცდა			სულ ცდისპირთა რაოდენობა
	ადეკვატ. აღქმა	კონტრასტ. ილუზია	ასიმილაც. ილუზია	
ცდისპირთა რაოდენობა	1	20	0	21
პროცენტობით	4,8	95,2	0	

ამრიგად, როგორც მეორე და მესამე ცხრილების შედარებიდან ჩანს, წინა ცდაში მოცემული ილუზიის ტრანსპოზიციამ ოპტიკური არიდან ჰაპტურზე ვერ მოახდინა მნიშვნელოვანი გავლენა ილუზიის შესუსტების მიმართულებით. იმავე ოპტიკურ არეში ილუზიათა 95,2% იჩინა თავი, ხოლო ტრანს-

¹ იხ. ნ. ადამაშვილი. განწყობის ილუზიის ინტერმოდალური ტრანსპოზიცია. უნივერსიტეტის შრომები, ტ. XVII.

პოზიციის შემთხვევაში 93,3%, იმ განსხვავებით, რომ უკანასკნელ პროცენტში შედის ასიმილაციური ილუზიის 1,7% ცხადია, ილუზიათა ტრანსპოზიციის საკითხის საბოლოო გამორკვევა დამატებით კვლევას გულისხმობს.

მესამე ცდა (მეთოდის მეხუთე ვარიანტი).

ამრიგად, ჩვენ დავრწმუნდით ხელის ფაქტორის წამყვან როლში მარჯვენა-მარცხენა მიმართულებით უშუალო (განწყობისეულ) ორიენტაციისას მაშინაც, როდესაც სათანადო მიმართულებით განწყობის ფიქსაცია ხდება ხელის მონაწილეობის გარეშე—ობტიკური აღქმის მეშვეობით.

დგება საკითხი: ითამაშებს თუ არა ხელის ფაქტორი რაიმე როლს მაშინ, როდესაც მარჯვენა-მარცხენა მიმართულების განწყობის ფიქსაცია მოხდება საზოგადოდ პერიფერიული აღქმის გარეშე, როდესაც ეს განწყობა გარეშე სიტუაციით კი არა, არამედ თვითონ სუბიექტის წარმოდგენით, ასე ვთქვათ, „შიგნიდან“ სპონტანურად იქნება გამოწვეული?

ამ კითხვაზე პასუხის გასაცემად 1946 წ. ჩატარებული გექონდა 31 ცდისპირზე ცდის მეხუთე ვარიანტი. ეს ცდისპირები სპეციალურად არიან შერჩეულნი: ეს ის პირებია, ვინც, როგორც ეს ჩვენი სხვა ცდებიდან გამოირკვა, ადვილად იმუშავებენ ფიქსირებულ განწყობას წარმოსახვის გზით.

საგანწყობო ცდა იმაში მდგომარეობს, რომ ჩვენ ვავალებთ ცდისპირებს რაც შეუძლიათ ნათლად და თვალსაჩინოდ წარმოიდგინონ მათ წინ დადებულ ცარიელ კოლოფებში ხის ბურთები—ერთში დიდი ბურთი, მეორეში—სულ პატარა და შეადარონ ეს წარმოდგენილი ბურთები ურთიერთს სიდიდით. ამ განცდის 15-ჯერ განმეორების შემდეგ კრიტიკულ ცდაში ევალება ცდისპირს გადაჯვარედინებული ხელებით კოლოფში ჩადებული კრიტიკული ბურთების რეალური შედარება.

შედევები მოცემულია მე-4 ცხრილში.

ცხრილი 4

	აღმავტ. აღმა	მხარის მიხედვ. კონტრასტული ილუზია	ხელის მიხედვით კონტრასტული ილუზია	ჯერ ხელის, შემდეგ მხარის მიხედვით კონტრასტული ილუზია	ჯერ მხარის, შემდეგ ხელის მიხედვით კონტრასტ. ილუზია	დებოზიციანტა	სულ ცდისპირთა რაოდენობა
ცდისპირთა რაოდენობა	2	9	16	2	1	1	31
პროცენტობით	6,5	29	51,6	6,5	3,2	3,2	100

ცხრილის მონაცემები უშუალოდ ისევ ამკლავნებს ხელის ფაქტორის როლს და ისიც მხარის ფაქტორზე უფრო მეტ როლს მარჯვენა-მარცხენა მიმართულებით უშუალო ორიენტაციაში მაშინაც, როდესაც ამ მიმართულებით სუბიექტი სპონტანურად, თავისი წარმოდგენის საფუძველზე განწყობა. მართლაც, ხელის ამ როლის შესახებ ცხრილის ყველა რუბრიკა ლაპარაკობს:

ჯერ ერთი, ხელების გადაჯვარედინებამ, ე. ი. ხელის ფაქტორის დაპირისპირებამ მხარის ფაქტორისათვის, გამოიწვია ორ შემთხვევაში განწყობისეულ ილუზიათა დარღვევა: 2 ცდისპირნი, რომელნიც ჩვეულებრივი წარმოდგენის საფუძველზე ანალოგიურ ცდაში იძლეოდნენ განწყობისეულ ილუზიას, როდესაც კრიტიკულ ცდაში საგნებს პარალელურად გაწეული ხელებით აღიქვამენ, ამ ცდაში აღიქვატურ აღქმის იძლევიან.

ამის გარდა, ცხრილის სამივე უკანასკნელი რუბრიკა გვიჩვენებს, რომ ხელების გადაჯვარედინებამ, ე. ი. ხელის ფაქტორის დაპირისპირებამ მხარის ფაქტორისთვის, გამოიწვია ცდისპირებში ღებოროინტაცია სივრცის აღნიშნულ მიმართულებებში.

დაბოლოს, ცხრილის ორი მთავარი რუბრიკა—მეორე და მესამე—გვიჩვენებს, რომ გარკვეულად განწყობისეულ ილუზიათა 25 შემთხვევიდან 16 შემთხვევაში, ე. ი. 64% -ში, კონტრასტული ილუზია იჩენს თავს ხელის მიხედვით და მხოლოდ 36% -ის (9 ცდისპირი) შემთხვევაში იჩენს თავს კონტრასტული ილუზია მხარის მიხედვით.

ცხადია, ეს რიცხვები მხოლოდ მიახლოებითაა: 25 ცდისპირი არ არის საკმარისი იმისათვის, რომ საბოლოო დასკვნა გამოვიტანოთ ორი ფაქტორის ზუსტი ურთიერთმიმართების შესახებ, მაგრამ ამ რიცხვებიდან ის მაინც ცხადია, რომ ხელის ფაქტორი ამ ცდებში უფრო ძლიერი აღმოჩნდა, ვიდრე მხარის (მედიანის) ფაქტორი, თუმცა ეს პრიორიტეტი ნაკლებია, ვიდრე იმ ცდებში, სადაც სუბიექტი მარჯვენა-მარცხენა მიმართულებით განწყობა გარე სიტუაციის აღქმის საფუძველზე. მეხუთე ცხრილში შეგერებულია ყველა ძირითადი ცდის შედეგები.

ცხრილი 5

ყველა ცდის შედარებითი მონაცემი	კონტრასტული ილუზია ხელის მიმართ	კონტრასტული ილუზია მხარის მიმართ
I ვარიანტი. ჰაბტური აღქმა საგანწყობო ცდებში გადაჯვარედინებული ხელებით, ხოლო კრიტიკულში პარალელურად გაწეული ხელებით.	100%	0
II ვარიანტი. ჰაბტური აღქმა საგანწყობო ცდებში პარალელურად გაწეული ხელებით, ხოლო კრიტიკულში გადაჯვარედინებული ხელებით.	100%	0
III ვარიანტი. ოპტიკური აღქმა განმანწყობელ ცდებში, ხოლო კრიტიკულ ცდებში ჰაბტური აღქმა გადაჯვარედინებული ხელებით.	88,8%	8,8%
V ვარიანტი. საგანწყობო ცდებში ობიექტთა მხოლოდ წარმოდგენა, ხოლო კრიტიკულ ცდაში ჰაბტური აღქმა გადაჯვარედინებული ხელებით.	64%	36%

დასკვნა

მიღებული შედეგები ლაპარაკობს ხელის ფაქტორის პრიორიტეტზე მხარის ფაქტორთან შედარებით, მაგრამ არ უარყოფს ამ უკანასკნელი ფაქტორის როლსაც მარჯვენა-მარცხენა მიმართულების უშუალო აღქმაში.

უკანასკნელის როლი დადასტურებული გვაქვს სპეციალურ ექსპერიმენტებში, რომელშიც ცდისპირებს ევალებათ მარჯვნივ და მარცხნივ მოთავსე-

ბული საგანწყობო ბურთების სუქცესიური შედარება ცალ-
ხელით, რის გამოც ორი ხელის ფაქტორი სრულიად გამორიცხულია ცდი-
დან. მიუხედავად ამისა, მარჯვენა-მარცხენა მიმართულების განწყობა სუ-
ბიექტს მაინც უმუშავდება. სპეციალურად ამ ცდებზე აქ ვერ შევჩერდებით,
აღვნიშნავთ მხოლოდ, რომ ცდისპირების დიდი ნაწილი ბურთების ცალი ხე-
ლითაც სუქცესიური შედარებისას იმუშაებს მარჯვენა-მარცხენა მიმართულე-
ბის ფიქსირებულ განწყობას [3].

დასკვნა

ზემოთ განხილული ცდებიდან ირკვევა, რომ სივრცის მარჯვენა-მარცხე-
ნა მიმართულების უშუალო განცდის წამყვან ფაქტორს ხელი წარ-
მოადგენს და არა ის წარმოსახული მედიანა, რომელიც ყოფს
ჩვენს სხეულს ვერტიკალური მიმართულებით ორ სიმეტ-
რიულ ნახევრად, როგორც ეს არის მიღებული ტრადიციულ
ბურთუბიოლოგიურ მეცნიერებაში. მარჯვენა-მარცხენა მიმართულების უშ-
უალო განცდა სათანადო ხელთან არის დაკავშირებული და ამიტომ ამ მი-
მართულებებით უშუალო ორიენტაცია სივრცეში დაკავში-
რებულია ხელების დიფერენციაციასთან.

ეს ექპერიმენტალური შედეგი ღრმა თეორიულ დასაბუთებას პოულობს
ენგელსის დებულებაში ხელის მნიშვნელობის შესახებ ადამიანის ჩამოყა-
ლიბების პროცესში.

საქართველოს სსრ მეცნიერებათა აკადემია
ფსიქოლოგიის ინსტიტუტი
თბილისი

(რედაქციას მოუვიდა 25.11.1950)

დამოწმებული ლიტერატურა

1. რ. ნათაძე, სივრცის მარჯვენა-მარცხენა მიმართულების უშუალო აღქმის ფაქტორთა
საკითხისათვის. საქართველოს სსრ მეცნ. აკად. მოამბე, ტ. XII, № 2, 1951.
2. სტალინის სახელობის თბილისის სახელმწ. უნივერსიტეტის სამეცნიერო სესიის თეზისები.
თბილისი, 1948.
3. რ. ნათაძე, ობიექტური სიტუაციის თვისებები, როგორც სივრცის მიმართულებათა აღ-
ქმის ფაქტი (ხელნაწერი მეცნ. აკადემიის დ. უზნაძის სახელობის ფსიქოლოგიის ინს-
ტიტუტში, 1949).

ხელოვნების ისტორია

გ. ბაზრინვაშვილი

უცნობი წარწერა მარძიანში

(წარმოადგინა აკადემიის ნამდვილმა წევრმა გ. ჩუბინაშვილმა 26.1.1951)

ვარძიის ღეთისმშობლის მიძინების ეკლესიის კედლის მხატვრობაში¹ თვალსაჩინო ადგილი აქვს დათმობილი აღმშენებელთა სურათებს. ჩრდილო კედლის აღმოსავლეთ ნიშში თამარ მეფისა და გიორგი III-ის პორტრეტებია, ხოლო იმავე კედლის დასავლეთ ნიშში—ღღმდის უცნობი ისტორიული პირის პორტრეტი. პირველი ორი გამოსახულების წარწერები, ისევე, როგორც ეკლესიის სხვა მრავალი წარწერა, დაღუპვის გადაურჩა და მათი ტექსტიც საკმაოდ ნათლად იკითხება, ხოლო მესამე პორტრეტის წარწერა, რომელიც ყველაზე ვერცელ ტექსტს შეიცავს და სხვებზე არა ნაკლებ საინტერესოა, ვიღაცის ხელით ამოფხაჭნილია იმდენად, რომ საღებავი შეჩინილია მხოლოდ რამდენიმე ადგილას.

ვინაიდან საღებავი გადაფხეკილი იყო, გადაწყდა წარწერის აღდგენა ქიმიური ხსნარით, რადგან ამ მხრივ წარწერას საშიშროება არ მოელოდა. ხსნარის მოქმედების შემდეგ ასოების ნაკვალევი ფონთან შედარებით გამუქდა; ამის შემდეგ შესაძლებელი შეიქნა წარწერის ამოკითხვა და გაშიფრვა.²

უცნობი პირის პორტრეტი (სურ. 1) გამოსახულია ჩრდილო კედლის დასავლეთის ნიშის შუა სარკმლის მარცხნივ და უჭირავს ნიშის მთელი სიმაღლე ამ ადგილას, დანარჩენი ადგილი კი დათმობილი აქვს წმინდანების პორტრეტებს (ნიშში ორი ვიწრო სარკმელია, რომელთაგან ერთი ნიშის ცენტრშია, ხოლო მეორე—მის აღმოსავლეთ ნაწილში). უცნობი პირი ოდნავ შემობრუნებულია და ვედრების მდგომარეობაში ხელები აქვს გაწვილი ღეთისმშობლისაკენ. ტანზე აცვია წელში გამოყვანილი მოწითალო-მოყავისფრო კაბა, რომელიც მუხლებამდის ეშვება, ხოლო თავზე ახურავს მაღალი ქუდი. მარჯვენა მკლავზე აქვს განიერი სამკლავე აქეთ-იქით თითო ზოლით. მუხლებს ქვემოთ გამოსახულება მთლიანად დაზიანებულია.

¹ 1950 წლის ზაფხულში ეკლესიის ჩრ. კედლის იმ ნაწილში, სადაც აღმშენებლებია გამოსახული, კედლის მხატვრობა გაიწმინდა. გაწმენდაზე მუშაობდნენ: ქალაქთმშენებლობის სამინისტროსთან არსებული სარესტავრაციო სახელოსნოების მხატვარ-რესტავრატორი ე. დ. მ. ბ. როვსკაია (ხელმძღვანელი), საქართველოს სსრ ხელოვნების სახელმწიფო მუზეუმის მხატვარ-რესტავრატორი მ. მღებრიშვილი და ამ სტატიის ავტორი.

² წარწერის აღდგენაზე მუშაობდა ამ სტატიის ავტორი და საქართველოს სახელმწიფო მუზეუმის ქიმიური ლაბორატორიის გამგე რ. ბახტაძე, რომელმაც დაამხადა ქიმიური ხსნარი.

ამ ისტორიული პირის წინ, ცენტრალური სარკმლის მარჯვენა მხარეს, დაბალ ბაზისზე დგას ღვთისმშობელი, რომელსაც მარჯვენა ფეხი გვერდზე აქვს გადგმული; იგი მთელი ტანითაა გამოსახული, მარცხენა მკლავზე ყრმა იესო უზის, ხოლო მარჯვენა გაშვებული აქვს უცნობისაკენ. მის აცვია გრძელი ღია ლურჯი კაბა და წამოსხმული აქვს მოეარდისფრო მათორიუმი. ყრმას მარცხენა ხელში გრავნილი უჭირავს, ხოლო მარჯვენა ხელი წინ აქვს გაშვებული.

უცნობი პირისა და ღვთისმშობლის ფიგურებს შორის მოთავსებულია 8-სტრიქონიანი წარწერა. წარწერის აღდგენის შემდეგ, გარდა პირველი და მეორე სტრიქონის ბოლო სიტყვებისა, თითქმის ყველა სტრიქონი ბოლომდის გამოჩნდა. პირველი სტრიქონის შერჩენილი ნაწილის სიგრძე 54,5 სმ-ია, მეორის—74,5 სმ, მესამის—80,8 სმ, მეოთხის—81 სმ, მეხუთის—77,4 სმ, მეექვსის—



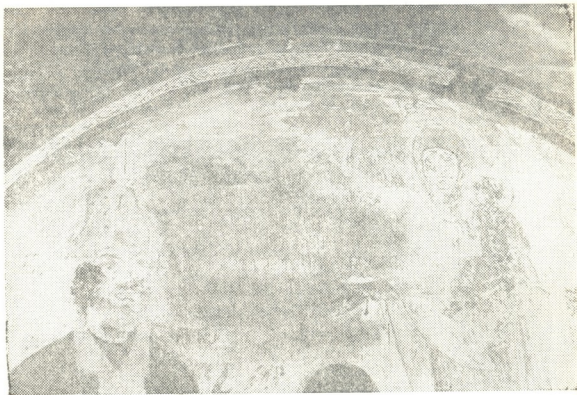
სურ. 1

56 სმ, მეშვიდის—47,5 სმ, მერვესი კი—68,5 სმ. წარწერის საერთო სიმაღლე 61 სმ-ია. ასოების სიმაღლე 1,5—6 სმ-დის აღწევს, ასოთა უმრავლესობის სიმაღლე კი 5 სმ-ია.

წარწერა ასომთავრულია და შესრულებულია ფუნჯით (ბეწვის კალმით), ტყვიის თეთრათი მუქ ლურჯ ფონზე¹. ამჟამად შერჩენილ საღებავს ასოებზე,

¹ ანალიზი გაუკეთდა საღებავს, რომელიც მხოლოდ რამდენსავე ასოს ჰქონდა შერჩენილი. ანალიზი ჩაატარა რ. ბახტაძემ საქართველოს სახელმწიფო მუზეუმის კიმიურ ლაბორატორიაში.

წარწერაში სრულიად გადაფხეკილია (როგორც ჩანს, განგებ) პირველი და მეორე სტრიქონების ბოლო სიტყვები. პირველი სტრიქონის ბოლო სიტყვაში ასო **ჯ**-ს მუცელში შეწვიაღებული ასო **ხ**-ის თავია შერჩენილი. მეორე



სურ. 2

სტრიქონის ბოლო სიტყვაში მხოლოდ პირველი ორი ასო **აჯ** ჩანს. ამავე სიტყვის შემდეგი ორი ასოს მხოლოდ უმნიშვნელო ნაწილია შერჩენილი. მომდევნო სიტყვიდან კი მხოლოდ დასაწყისი ორი ასოს ნაწყვეტები ჩანს; აქ ოთხი ასო მაინც არის სრულიად გადაფხეკილი, ბოლოში კი კვლავ ორი ასოს ნაწყვეტებია ძალზე მკრთალად. ამ სიტყვის ნაწილი გადადის მესამე სტრიქონში, სადაც, როგორც ჩანს, ის იწყება ასო **ხ**-ით და თავდება ასოთი **ჯ**; მათ შორის მოთავსებული ასოების დადგენა არ მოხერხდა. მეექვსე სტრიქონში გაუგებარი იყო ბოლო სიტყვა, მაგრამ გაწმენდით მოხერხდა ყველა ასოს გარჩევა, გარდა იმ სიტყვის მესამე ასოსი, რომელიც გადაფხეკილია, მაგრამ, სიტყვის მიხედვით, აქ უნდა ყოფილიყო ასო **შ**.

ბოლო მერვე სტრიქონის მესამე სიტყვაში მეორე ასო **გ** უნდა იყოს, მომდევნო ორი ასოს ამოკითხვა კი არ მოხერხდა, ეს სიტყვა ალბათ არის „მცველადა“. დანარჩენ სტრიქონებში მდგომარეობა უკეთესია, თუმცა აღდგენის შემდეგ ასოები ყველა ერთი სიძლიერით არ გამოჩნდა.

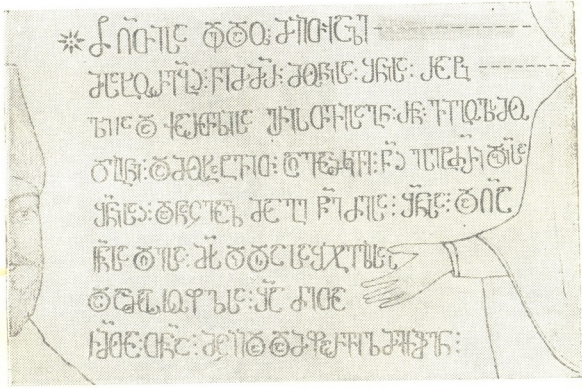
მეორე სტრიქონის ბოლო სიტყვა, სადაც ორი პირველი ასო **აჯ** არის შერჩენილი, უმეველია, ერისთვის სახელს უნდა გამოხატავდეს; საკუთარი სახელისთვის მთელ წარწერაში სხვა ადგილი არსადაა, ეს სახელი კი რატი უნ-

და იყოს; მართლაც, მესამე ასოს, რომელიც ჩვენი აზრით E არის, შერჩენილი აქვს მუცლის მარჯვენა ნაწილი და ფეხის დასაწყისი, მის ტანში კი შეწიაღებული I-ს თავისა და ბუნის ნაწყვეტი ნაწილები ჩანს.

სახელი რატის მატარებელი კი თამარის დროს ერთადერთია: რატი სურამელი, რომელსაც თამარ მეფემ ქართლის ერისთაობა უბოძა ([1], გვ. 79) ჩვენს წარწერაშიც ხომ უცნობი პირი სწორედ ქართლის ერისთავად მოიხსენება. წარწერაში ქართლის ერისთვის წან დასმულია კავშირი შც («...და ქართლისა ერისთვისაგან . . .»), რომლის წინ, უნდა ვიფიქროთ, რატის მეორე თანამდებობაა აღნიშნული, მაგრამ, წარწერის გადაფხეკის გამო, ეს თანამდებობა, რომელიც, შესაძლებელია, რატის ჯავახეთთან დამოკიდებულებას გამოხატავდა, გამოურკვეველი რჩება.

საბოლოოდ, ქარაგმების გახსნით, წარწერა შემდეგნაირად იკითხება:

შ ღმრთისა დედაო: მიითუალე-
მსახურებაჲ: ჩემ მიერ: მონისა: შენისა: რატი-
. . . . და ქართლისა ერისთვისაგან: რომელმან: ვიგულსმო
დგინე: და მოხატვით: აღვაშკვე: წმიდაჲ ესე ტაძარი დიდებისა
შენისაჲ: და ნაცვალ მიგე წინაშე ძესა: შენსა: და ღმერთსა
ჩუენსა დღესა: მის დიდსა საშჯელისას[ა]
და ამას სოფელსა: შინა ძეთა
ჩემთა: თანა: მც[ველა] და და მფარველ მექმენ: (სურ. 3).



სურ. 3. ვარძია, რატის წარწერის აღდგენის ცდა

საინტერესოა, თუ რა დამოკიდებულება ჰქონდა ქართლის ერისთავს რატი სურამელს ჯავახეთთან.

სურამელები არიან ფავენელთა გვარის შთამომავლები ([2], გვ. 96). ფავენელთა გვარი ალბათ მომდინარეობს სოფ. ფაენისიდან, რომელიც თემის ხეობაში მდებარეობს ([3], გვ. 197). ფავენელები ისტორიულ საბუთებში მეთესე საუკუნეში მოიხსენებიან ([4], გვ. 87—88), შემდეგ კი მათი ერთი შტო გადასულა სურამში; სურამელები საქართველოს ისტორიის ასპარეზზე მეთორმეტე საუკუნიდან ჩანან. ბექა სურამელი, რომელსაც გიორგი მესამის დროს სპასპეტის თანამდებობა უჭირავს, მეფის გვერდით ჩანს 1161 წელს ანისისათვის ბრძოლაში; იგი გიორგი მესამის ბრწყინვალე გამარჯვების ერთ-ერთი სახელოვანი მონაწილეა ([5], გვ. 230).

გიორგი III-ის დროს ქართლს ერისთავობდა სუმბატის ძე ლიპარიტი ([5], გვ. 240—243), რომელმაც 1177 წელს მეფის წინააღმდეგ შეთქმულებაში მიიღო მონაწილეობა. 1178 წლის ახლო დაწერილ გუჯარში ერისთავთ-ერისთავად და ქართლის ერისთავად მოიხსენებიან უკვე რატი და სულა სურამელები ([4], გვ. 266); როგორც ჩანს, მოლაღატე მოხელის მაგივრად გიორგი III-ის ქართლის ერისთავობა რატისა და მისი შვილის სულა სურამელებისთვის უშობებია. რატის, როგორც ზემოთ აღვნიშნეთ, თამარმა გამეფების შემდეგაც იგივე თანამდებობა ჩააბარა. სურამელების მოღვაწეობას საქართველოში XIII საუკუნის ბოლომდის გაედევნება თვალთ, მაგრამ ჯავახეთთან მათი კავშირი არსად არ მოიხსენება.

განხილულ წარწერაში რატი სურამელს რამდენიმე შვილი (ორი ან მეტი) ჰყავს მოხსენებული, ისტორიულ საბუთებში კი მხოლოდ ერთი შვილი—სულა სურამელი—ჩანს თავისი მემკვიდრეობით. რაც შეეხება რატის სხვა შვილს, არსად არ არის საბუთებში აღნიშნული.

როგორც ისტორიული წყაროებიდან ჩანს, ქართლის ერისთავის რატის დედა ყოფილა ცნობილი მანდილოსანი ხუაშაქი ცოქალი ([1], გვ. 78), ხოლო თუ ვისი ძე იყო რატი სურამელი, საბუთებში არ ჩანს¹; შესაძლებელია, რატის მამა სწორედ გიორგი III-ის თანამედროვე შემოხსენებული ბექა სურამელი იყო.

ზემოთქმულის მიხედვით ჩვენ შეგვეძლო დაგვეკვინა, რომ რატი სურამელი, ძე ფრიად ცნობილი, საპატიო მანდილოსნის ხუაშაქი ცოქალისა, ერისთავთ-ერისთავი და ქართლის ერისთავი, თავის ერთგულებით მეფისა და ეკლესიისადმი ღებულობს უფლებას მოხატოს და შეამკოს ვარძის დიდებული ტაძარი და მეფეთა გვერდით თავის თავიც დაახატვინოს. მაგრამ თუ ჩვენ განვიხილავთ იმ წარწერის ფრაგმენტს, რომელიც ივ. როსტომაშვილს უნახავს ახალქალაქში ([7], გვ. 37—38) და სადაც რატი მოიხსენება, მაშინ დადინახავთ, რომ რატი სურამელის კავშირი ჯავახეთთან შემთხვევითი არ უნდა ყოფილიყო. ამ წარწერის ჩვენთვის საინტერესო ადგილი ლ. მუსხელიშვილის მიერ შემდეგნაირად იქნა აღდგენილი:

„ქ აღვაშენე ესე წმიდაი [მეფობასა თამარი] სსა და ამირ-სპ[ასალარისა] გამრეკელისა ძეთა [და ქართლის ერისთავისა] რატის პატრონობასა შინა“.

¹ მ. ჯანაშვილს სავსებით მუხეუმში უნახავს რატი სურამელის ტყავის სიგელი, რომლის ტექსტი თავის პალეოგრაფიულ აღბოში გადმოუწერია ([6], გვ. 55), მაგრამ ვერც რატის სიგელი და ვერც პალეოგრაფიული აღბოში ვერ აღმოვაჩინეთ.

ეს წარწერა შესრულებულია 1190/91 წლების შემდეგ, როდესაც ჯავახეთს დიდი გამრეკელის შვილები პატრონობდნენ ([8], გვ. 64).

ამგვარად, რატი ახალქალაქში პატრონად მოიხსენება. შესაძლებელია ამ წარწერაშიც რატის თანამდებობა ქართლის ერისთავი კი არ იყოს, არამედ სხვა, სწორედ ის თანამდებობა, რომელიც ვარძიის წარწერაშიც უნდა ყოფილიყო მოხსენებული. მაგრამ, საუბედუროდ, ორივე წარწერაში ეს მეტად საინტერესო ადგილია დაზიანებული. ეს ორი წარწერა, რატის მოხსენებით, აშკარად მოწმობს, რომ რატი სურამელს რაღაც მჭიდრო კავშირი ჰქონდა ჯავახეთთან. ლ. მუსხელიშვილის აზრით, რატის „...ხელი ამ დროს ეგებ ჯავახეთისაც მისწვდებოდა, ან კიდევ მას შეიძლება მიწები ჰქონდა ახალქალაქის რაიონში...“ ([8], გვ. 56—60).

მართლაც, ფეოდალიზმის პირობებში დიდგვარიანთა შორის ერთმანეთზე ძალზე დაშორებული მიწების მფლობელობა მიღებული იყო, ამიტომ ადვილი წარმოსადგენია, რომ ქართლის ერისთავს რატი სურამელს მიწები ჰქონოდა ჯავახეთში; უფრო მეტიც, ამ ორი წარწერის არსებობა ჯავახეთში გვაფიქრებინებს, რომ შესაძლებელია რატი სურამელს ჯავახეთის ნაწილი საგამგებოდაც ებარა თორელებისა და თმოგველების გვერდით; ვინაიდან ჯავახეთს დიდი როლი ეკირებოდა საქართველოს ძლიერებაში და რადგან ჯავახეთის დაკარგვით უშუალო საფრთხე მოელოდა ქართლს—საქართველოს ცენტრალურ ნაწილს, ამიტომ, შესაძლებელია, თამარ მეფემ ჯავახეთის ადგილობრივ დიდგვარიან მოხელეთა შორის ჯავახეთის მონაპირობა რატი სურამელსაც დაავალა.

თამარ მეფის შეგნებული პოლიტიკა იყო, რომ სამხედრო-ადმინისტრაციული ოლქები მას ჩაბარებული ჰქონდა არა ერთი რომელიმე ერისთავისთვის, არამედ თვითელში რამდენიმე, როგორც ჩანს თანასწორუფლებიანი, მეთ აური იყო, რომლებიც ერთმანეთს, ცხადია, კონტროლს უწევდნენ ([8], გვ. 64).

ვარძიის ტაძრის კედლის მხატვრობა და წარწერების დათარიღება შესაძლებელია ტაძრის ჩრდილო კედლის აღმოსავლეთ ნიშში მეფე გიორგი III-ისა და თამარ მეფის ფრესკაზე მოთავსებული წარწერებისა და თამარ მეფის პორტრეტის განხილვით.

როგორც ამ წარწერების შინაარსიდან ჩანს, ტაძრის ფრესკა და წარწერა თამარ მეფის სიცოცხლეში არის შესრულებული, გიორგი III კი ამ დროს გარდაცვლილი ყოფილა ([9], გვ. 70).

თუ თამარ მეფის პორტრეტულ გამოსახულებას დავაკვირდებით, შევამჩნევთ, რომ იგი შესრულებულია მის ქალიშვილობაში, მისი მეფობის პირველ წლებში, როდესაც თამარ მეფეს ჯერ არა ჰყავდა პირველი ქმარი შერთული. ეს ჩანს თამარ მეფის თავსამკაულებიდან, ვინაიდან მას არა აქვს მარგალიტებით შემზადებული აცმულა და ნიკაპის ქვეშ ასაკრავი, რასაც მხოლოდ ქმრიანი ქალები ატარებდნენ. თამარ მეფის დანარჩენ (ბეთანიის, ყინცივისის, ბერთუნის) პორტრეტულ გამოსახულებას კი მარგალიტების აცმულა და ნიკაპის ქვეშ ასაკრავი აქვს. ამის შესახებ ვახუშტი ბატონიშვილი ამბობს:

„...თავი ქალწულთა კავნი თვისისავე თმისა
ლაწვთა ზედა და ქუდი ანუ ლეჩაქი; არამედ
ქმროანთა კავსა ზედა ლაწვს აძქეთ თმა შეწნული
მსხვილი, იმიერ და ამიერ; და თმას ქვეშ მარ-
გალიტით შემზადებულსა ამოიდებენ და თხემთა
ზედა შეიკვრენ და ჰბურავთ მას ზედ ლეჩაქი“
([10], გვ. 27).

ამრიგად, ვარძიის ტაძრის წარწერების შესრულების თარიღი თავსდება
მეფე გიორგი III-ის გარდაცვალებასა და თამარ მეფის პირველ გათხოვებას
შორის, ე. ი. 1184 ([5], გვ. 244) წელსა და 1185—86 ([11], გვ. 206) წელს
შორის.

როგორც ზემოთ აღვნიშნეთ, თავისი ხასიათით ვარძიის ტაძრის წარწე-
რები საესეებით ემთხვევა ერთმანეთს და ერთი ოსტატის ხელს ამჟღავნებს;
ამიტომ ექვს გარეშეა, რომ ვარძიის ტაძრის წარწერები, მათ შორის რატი
სურამელის წარწერაც, შესრულებულია 1184/86 წელს¹.

საქართველოს სსრ მეცნიერებათა აკადემია
ვარძიის მუხუმი—ნაკრძალი

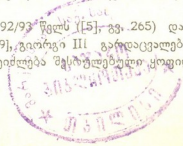
(რედაქციას მოუვიდა 26.1.1951)

დამოწმებული ლიტერატურა

1. ისტორიანი და აზმანი შარავანდედთანი. აკად. კონ. კეკელიძის რედაქციითა და გა-
მოკლევით. თბილისი, 1941.
2. თ. ქორდანია. ქრონიკები, ტ. II, ტფილისი, 1897.
3. ვახუშტი. აღწერა სამეფოსა საქართველოსა. თბილისი, 1941.
4. თ. ქორდანია. ქრონიკები, ტ. I, ტფილისი, 1897.
5. ივ. ჯავახიშვილი. ქართველი ერის ისტორია, წიგნი მეორე, თბილისი, 1948.
6. М. Г. Джанашвили. Царица Тамара. Тифлис, 1900.
7. И. П. Ростовов. Ахалкалакский уезд в археологическом отношении. СМОНПК,
вып. XXV, 1898.
8. ლ. მუსხელიშვილი. არქეოლოგიური ექსკურსიები. თბილისი, 1941.
9. ც. გაბაშვილი. ვარძია, გამკვლელი, თბილისი, 1948.
10. ვახუშტი. საქართველოს ისტორია (აღწერა სამეფოსა საქართველოსა), დიშ. ბაქრაძის
გამოცემა, თბილისი, 1885.
11. ბ. ბერძენიშვილი, ივ. ჯავახიშვილი, ს. ჯანაშია. საქართველოს ისტორია,
ნაწ. I, 1948.
12. Ш. Я. Амиранашвили. История грузинского искусства, том 1, Москва, 1950.

¹ პ. როფ. შ. ამირანიშვილი, იღებს რა ლაშა გიორგის დაბადების თარიღად 1183
წელს, წერს, რომ ვარძიის ეკლესიის მხატვრობა უდავოდ 1183 წლამდე არის შესრულებული
([12], გვ. 193).

ვერ ერთი, ლაშა გიორგი დაბადებულია 1192/93 წელს ([5], გვ. 265) და არა 1183
წელს, მეორეც—როგორც ეს უკვე დამტკიცებულია [9], გიორგი III გარდაცვალებამდე, ე. ი.
1184 წლამდე, ვარძიის ეკლესიის მხატვრობა არ შეიძლება შესრულებული ყოფილიყო, ამი-
ტომ აღნიშნულ მოსაზრებას ვერ დავეთანხმებით.



პასუხისმგებელი რედაქტორის შოადგილე ს. კილაია

საქართველოს სსრ მეცნიერებათა აკადემიის გამომცემლობის სტამბა, აკ. წერეთლის ქ. № 3/5
Типография Издательства Академии Наук Грузинской ССР, ул. Ак. Церетели № 3/5

ანაწყობის ზომა 7×11	საბეჭდ ფორმათა რაოდ. 4
ხელმოწერილია დასაბეჭდად 22.4.1951	საადრ. ფორმათა რაოდ. 5
შეკვ. № 620	ტირაჟი 1500

შე 01878

52/89



ფასი 5 მან.

დასტკიცებულია
საქართველოს სსრ მეცნ. აკად. პრეზიდიუმის მიერ
22.10.1947

დებულება „სსრკთხელოს სსრ მცნიერებათა აკადემიის მონაშის“ შესახებ

1. „მონაშეში“ იბეჭდება საქართველოს სსრ მეცნიერებათა აკადემიის მეცნიერი მუშაკებისა და სხვა მეცნიერთა წერილები, რომლებშიც მოკლედ გადმოცემულია მათი გამოკვლევების მთავარი შედეგები.
2. „მონაშეს“ ხელმძღვანელობს სარედაქციო კოლეგია, რომელსაც ირჩევენ საქართველოს სსრ მეცნიერებათა აკადემიის საერთო კრება.
3. „მონაშე“ გამოდის ყოველთვიურად (თვის ბოლოს), გარდა ივლის-აგვისტოს თვისა— ცალკე ნაკვეთებად, დაახლოებით 5 ბეჭდური თაბახის მოცულობით თითოეული. ერთი წლის ყველა ნაკვეთი (სულ 10 ნაკვეთი) შეადგენს ერთ ტომს.
4. წერილები იბეჭდება ქართულ ენაზე, იგივე წერილები იბეჭდება რუსულ ენაზე პარალელურ გამოცემაში.
5. წერილის მოცულობა, ილუსტრაციების ჩათვლით, არ უნდა აღემატებოდეს 8 გვერდს. არ შეიძლება წერილების დაყოფა ნაწილებად სხვადასხვა ნაკვეთში გამოსაქვეყნებლად.
6. მეცნიერებათა აკადემიის ნამდვილი წევრებისა და წევრ-კორესპონდენტების წერილები უშუალოდ გადაეცემა დასაბეჭდად „მონაშის“ რედაქციას, სხვა ავტორების წერილები კი იბეჭდება საქართველოს სსრ მეცნიერებათა აკადემიის ნამდვილი წევრის ან წევრ-კორესპონდენტის წარმოდგენით. წარმოდგენის გარეშე შემოსულ წერილებს რედაქცია გადასცემს აკადემიის რომელიმე ნამდვილ წევრს ან წევრ-კორესპონდენტს განსახილველად და, მისი დადებითი შეფასების შემთხვევაში, წარმოსადგენად.
7. წერილები და ილუსტრაციები წარმოდგენილი უნდა იქნეს ავტორის მიერ საგნებით გამზადებული დასაბეჭდად. ფორმულები მკაფიოდ უნდა იყოს ტექსტში ჩაწერილი ხელით. წერილის დასაბეჭდად მიღების შემდეგ ტექსტში არავითარი შესწორებისა და დამატების შეტანა არ დაიშვება.
8. დამოწმებული ლიტერატურის შესახებ მონაცემები უნდა იყოს შეძლებისდაგვარად სრული: საჭიროა აღინიშნოს ჟურნალის სახელწოდება, ნომერი სერიისა, ტომისა, ნაკვეთისა, გამოცემის წელი, წერილის სრული სათაური; თუ დამოწმებულია წიგნი, სავალდებულოა წიგნის სრული სახელწოდების, გამოცემის წლისა და ადგილის მითითება.
9. დამოწმებული ლიტერატურის დასახელება წერილს ბოლოში ერთვის სიის სახით, ლიტერატურაზე მითითებისას ტექსტში ან შენიშვნებში ნაჩვენები უნდა იქნეს ნომერი სიის მიხედვით, ჩასაშლი კვადრატულ ფრჩხილებში.
10. წერილის ტექსტის ბოლოს ავტორმა უნდა აღნიშნოს სათანადო ენებზე დასახელება და ადგილმდებარეობა დაწესებულებისა, სადაც შესრულებულია ნაშრომი. წერილი თარიღდება რედაქციაში შემოსვლის დღით.
11. ავტორს ეძლევა გვერდებზე შეკრული ერთი კორექტურა მკაცრად განსაზღვრული ვადით (ხვეულებრივად, არა უმეტეს ერთი დღისა). დადგენილი ვადისთვის კორექტურის წარმოდგენლობის შემთხვევაში რედაქცია უფლებად აქვს შეაჩეროს წერილის დაბეჭდვა, ან დაბეჭდოს იგი ავტორის ვიზის გარეშე.
12. ავტორს უფასოდ ეძლევა მისი წერილის 50 ამონაბეჭდი (25 ამონაბეჭდი თითოეული გამოცემიდან) და თითო ცალი „მონაშის“ ნაკვეთებისა, რომლებშიც მისი წერილია მოთავსებული.

რედაქციის მისამართი: თბილისი, ძეგლისძის ქ. 8.